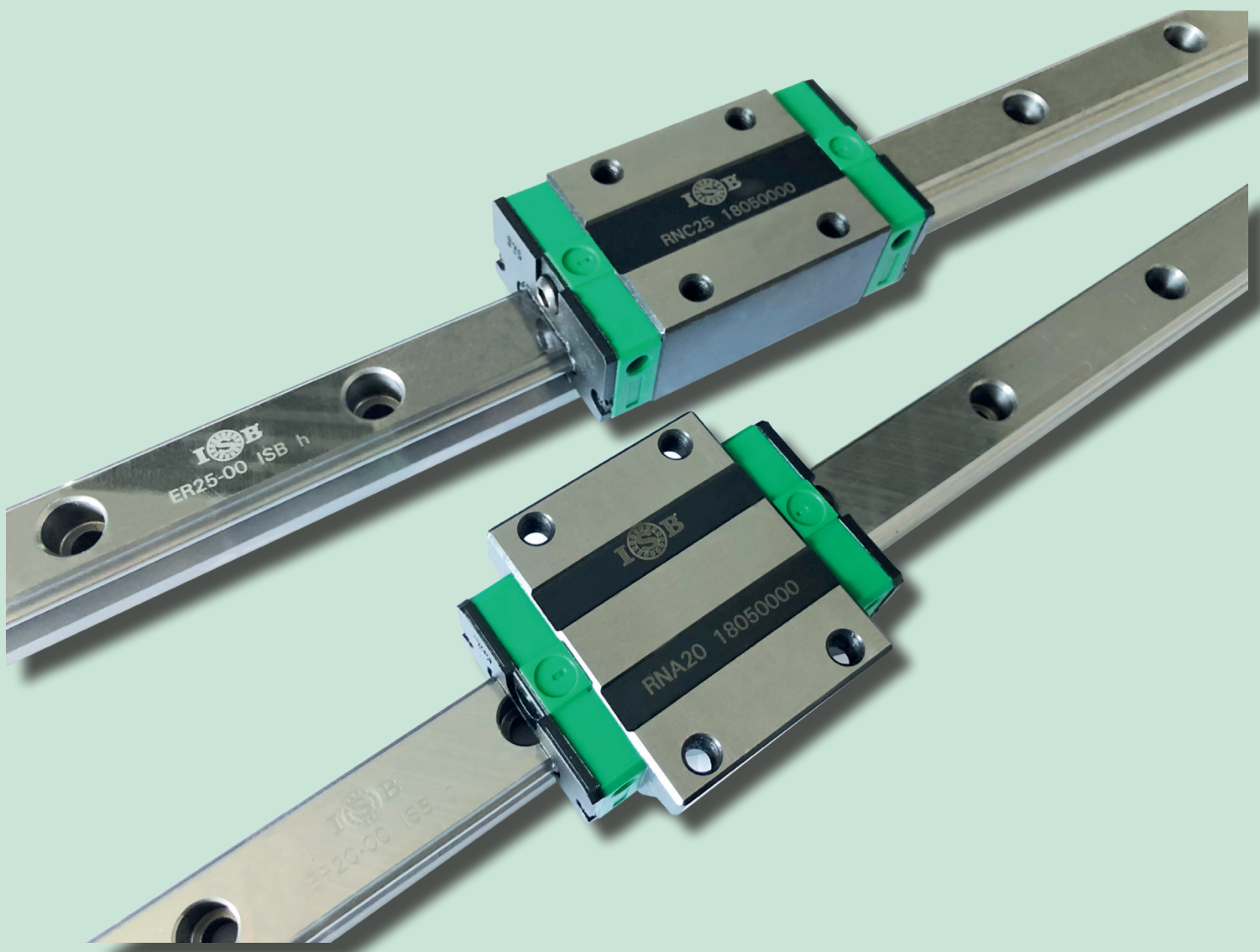


# GUIDE LINEARI ISB H

## ISB H LINEAR GUIDES





## GUIDE LINEARI/ LINEAR GUIDES

### 1. CARATTERISTICHE TECNICHE

Le guide lineari ISB sono caratterizzate da:

- Elevata rigidezza con 4 contatti angolari
- Movimento silenzioso
- Intercambiabilità con le loro dimensioni standard internazionali
- Attrito minimo
- Alta precisione
- Poca manutenzione
- Ottimo rapporto prestazioni / qualità / prezzo

### 1. TECHNICAL CHARACTERISTICS

*ISB Linear guides are characterized by:*

- *High rigidity 4 row angular contact*
- *Smooth running*
- *Interchangeability with their standard; international dimensions*
- *Low friction*
- *High accuracy*
- *Low maintenance*
- *Optimal ratio performances / quality / price*

## 2. SCELTA DELLA GUIDA LINEARE ISB

La tipologia del sistema lineare profilato (guida + carrello) deve essere scelta in funzione dei seguenti parametri:

- Carico applicato
- Durata richiesta
- Ingombri disponibili
- Velocità
- Ciclo d'esercizio
- Precisione
- Rigidezza

## 2. CHOICE OF ISB LINEAR GUIDE SYSTEM

*The linear guide system has to be chosen according to the following parameters:*

- Applied load
- Requested life
- Overall dimensions
- Speed
- Operation cycle
- Accuracy
- Rigidity

## 3. CAPACITÀ DI CARICO E DURATA

Gli indici utilizzati per valutare la capacità di un sistema lineare ad assorbire i carichi e / o momenti statici applicati sono:

- Capacità di carico statica  $C_0$
- Momento statico ammissibile  $M_0$

### 3.1. CARICO STATICO

La capacità di carico statica  $C_0$  (o coefficiente di carico statico) è definita come quel carico statico di intensità e direzione costante che determina, nel punto di massima sollecitazione tra le parti in contatto, una deformazione permanente pari a 1/10000 del diametro dell'elemento volvente.

La capacità di carico statica  $C_0$  di un sistema lineare profilato è limitata da:

- Carico ammissibile della guida
- Capacità di carico delle piste di rotolamento
- Carico ammissibile delle viti di fissaggio
- Coefficiente di sicurezza statico richiesto

I valori di  $C_0$  sono riportati nelle tabelle dimensionali.

#### 3.1.1. MOMENTO STATICO AMMISSIBILE $M_0$

Il momento statico ammissibile  $M_0$  è definito come quel momento statico di intensità e direzione costante che determina, nel punto di massima sollecitazione tra le parti in contatto, una deformazione permanente pari a 1/10000 del diametro dell'elemento volvente; in questo caso i punti di massima sollecitazione sono i contatti tra elementi volventi e guida situati alle due estremità del carrello.

Il momento statico ammissibile  $M_0$  è definito per i tre assi cartesiani x, y, z (da cui:  $M_{0X}$ ,  $M_{0Y}$ ,  $M_{0Z}$ ).

### 3. LOAD RATING AND LIFE

*The index es used to estimate value the static load capacity of a linear rail system with the applied load and / or torques are:*

- Static load rating capacity  $C_0$
- Acceptable static moment  $M_0$

### 3.1. STATIC LOAD

*Static load rating capacity  $C_0$  is defined as the constant load rating that generates a remaining deformation of 1/10000 of the rolling element diameter in the zone with the maximum stress.*

*Static load rating capacity  $C_0$  is limited by:*

- Permissible load of rail
- Static load capacity of rolling lanes
- Permissible load of fixing screws
- Static safety factor required

*$C_0$  values are shown on dimensional tables.*

#### 3.1.1. PERMISSIBLE STATIC MOMENT $M_0$

*Permissible static moment  $M_0$  is defined as the static moment with costant direction and constant intensity that generates a remaining deformation of 1/10000 of the rolling element diameter in the zone with the maximum stress; in this case, the points with maximum stress are the contacts between guide and rolling elements situated at the two extremities of the block.*

*Permissible static moment  $M_0$  is defined for the three cartesian axis x, y, z (than:  $M_{0X}$ ,  $M_{0Y}$ ,  $M_{0Z}$ ).*

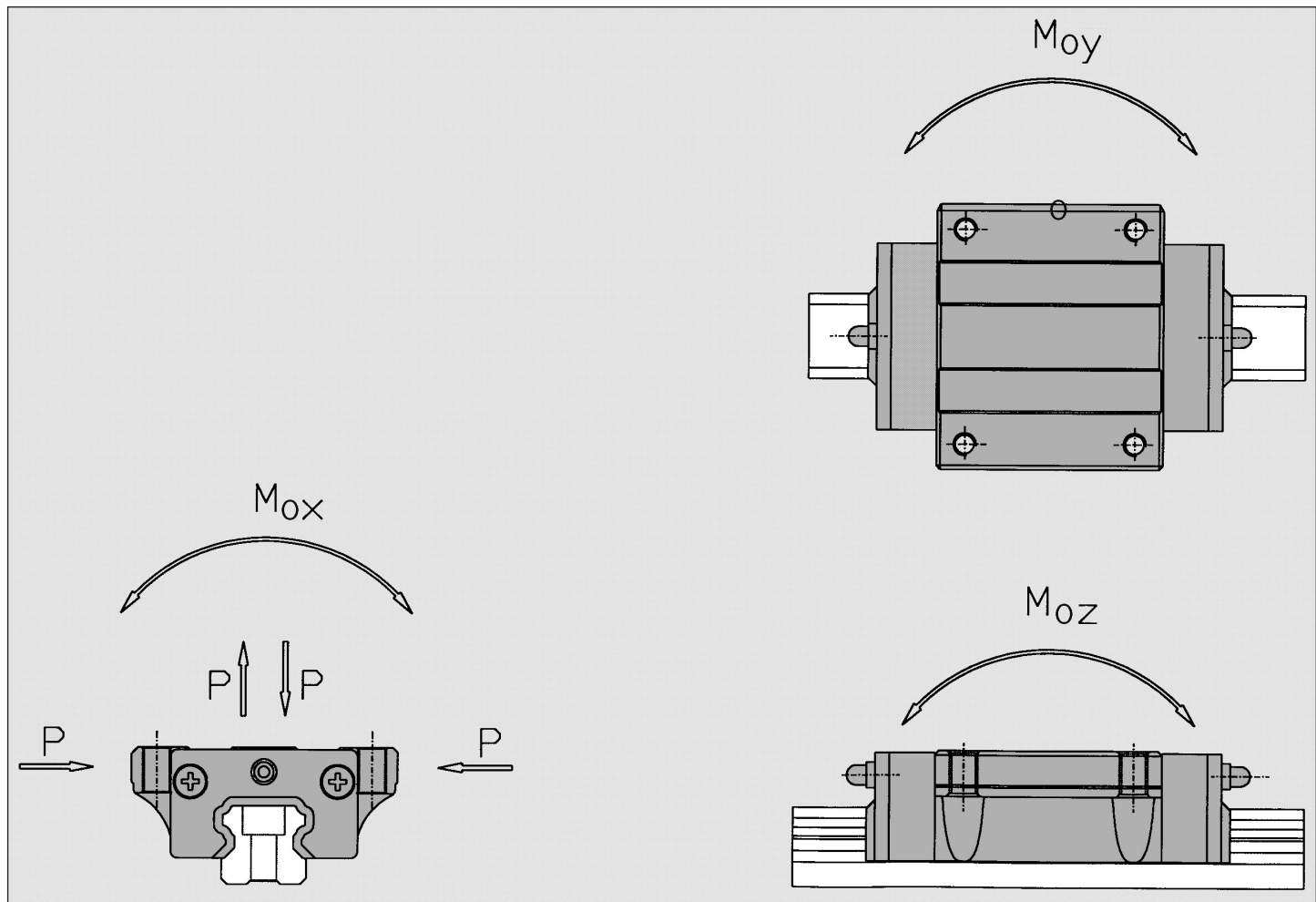
Anche per il momento statico ammissibile valgono le limitazioni dovute a:

- carico ammissibile
- capacità di carico delle piste di rotolamento
- carico ammissibile delle viti di fissaggio
- coefficiente di sicurezza statico richiesto

I valori di  $M_{0X}$ ,  $M_{0Y}$ ,  $M_{0Z}$  sono riportati nelle tabelle dimensionali.  $M_{0X}$ ,  $M_{0Y}$ ,  $M_{0Z}$  values are shown on dimensional tables.

*For the acceptable static moment there are limitations too caused by:*

- permissible load of rail
- static load capacity of rolling lanes
- permissible load of fixing screws
- static safety factor required



### 3.1.2. COEFFICIENTE DI SICUREZZA STATICO AS

Il coefficiente di sicurezza statico  $a_S$  (o fattore di sicurezza statica) rappresenta il rapporto tra la capacità di carico  $C_0$  e il carico equivalente applicato  $P$  o il rapporto tra il momento statico ammissibile  $M_0$  ( $M_{0X}$ ,  $M_{0Y}$ ,  $M_{0Z}$ ) e il momento applicato  $M$  ( $M_X$ ,  $M_Y$ ,  $M_Z$ ); il rapporto deve considerare momenti nello stesso asse.

$$a_S = f_C \times C_0 / P$$

$$a_S = f_C \times M_{0X} / M_X; f_C \times M_{0Y} / M_Y; f_C \times M_{0Z} / M_Z$$

dove:

$a_S$	= coefficiente di sicurezza statico
$f_C$	= fattore di contatto
$C_0$	= capacità di carico statica [N]
$P$	= carico equivalente applicato [N] (vedere "Calcolo del carico applicato")
$M_{0X}$	= momento statico ammissibile in asse x [N x m]
$M_{0Y}$	= momento statico ammissibile in asse y [N x m]
$M_{0Z}$	= momento statico ammissibile in asse z [N x m]
$M_X$	= momento applicato in asse x [N x m]
$M_Y$	= momento applicato in asse y [N x m]
$M_Z$	= momento applicato in asse z [N x m]

### 3.1.2. STATIC SAFETY FACTOR AS

*Static safety factor  $a_S$  is the ratio between the static load rating capacity  $C_0$  and the equivalent applied load or the ratio between the applied static moment  $M_0$  ( $M_{0X}$ ,  $M_{0Y}$ ,  $M_{0Z}$ ) and the applied static moment  $M$  ( $M_X$ ,  $M_Y$ ,  $M_Z$ ); the ratio must consider the moments applied to the same axis.*

$$a_S = f_C \times C_0 / P$$

where:

$a_S$	= static safety factor
$f_C$	= contact factor
$C_0$	= static load rating capacity [N]
$P$	= equivalent applied load [N] (see "Calculation of applied load")
$M_{0X}$	= permissible static moment to axis x [N x m]
$M_{0Y}$	= permissible static moment to axis y [N x m]
$M_{0Z}$	= permissible static moment to axis z [N x m]
$M_X$	= permissible moment applied to axis x [N x m]
$M_Y$	= permissible moment applied to axis y [N x m]
$M_Z$	= permissible moment applied to axis z [N x m]

### 3.1.3. FATTORE DI CONTATTO FC

Se due o più pattini vengono montati su una stessa guida, la durata deve essere penalizzata per effetto di una non completa uniformità di distribuzione dei carichi applicati sui pattini stessi.

### 3.1.3. CONTACT FACTOR FC

*In case two or more blocks are assembled on the same rail, the service life will be affected due to the uneven load distribution on different blocks.*

Tabella - Fattore di contatto  $f_C$

Numero pattini per singola guida Number of blocks for single rail	$f_C$
1	1.0
2	0.81
3	0.72
4	0.66
5	0.61

La necessità di avere un coefficiente di sicurezza statico  $a_S > 1$  deriva dalla possibile presenza di urti e/o vibrazioni, momenti di avvio e arresti, carichi accidentali, i quali pregiudicherebbero la capacità del sistema qualora non se ne fosse tenuto conto.

*The necessity to have a static safety factor  $a_S > 1$  comes from the possibility to have impacts and/or vibrations, start and stop moments, accidental loads that could be dangerous for the linear system, if not considered.*

La tabella fornisce dei valori minimi di riferimento per il coefficiente di sicurezza statico  $a_S$ .

Tabella - Coefficiente di sicurezza statico  $a_S$

Condizioni di funzionamento Working conditions	$a_S$ minimi $a_S$ minimum
Statico / Static	1.0 ÷ 2.0
Dinamico / Dynamic	2.0 ÷ 4.0
Dinamico con urti e vibrazioni / Dynamic with impacts and vibrations	3.0 ÷ 5.0

L' indice utilizzato per valutare la capacità del sistema lineare ad assorbire i carichi dinamici applicati è la capacità di carico dinamica C.

## 3.2. CARICO DINAMICO

La capacità di carico dinamica C (o coefficiente di carico dinamico) è definita come quel carico dinamico di intensità e direzione costante che determina una durata nominale di 50 km di percorso; la durata viene intesa come quel teorico percorso prima che compaia il primo segno di affaticamento.

La capacità di carico dinamica C di un sistema lineare profilato è limitata da:

- Velocità di funzionamento
- Ciclo di funzionamento
- Carichi e/o momenti applicati

I valori di C sono riportati nelle tabelle dimensionali.

(In base alla normativa DIN la capacità di carico dinamica C dovrebbe essere almeno il doppio del carico equivalente P applicato).

The following table presents the minimum  $a_S$  static safety factor values.

Table - Static safety factor  $a_S$

The index used to estimate the dynamic load capacity of a linear rail system is the dynamic load rating capacity C.

## 3.2. DYNAMIC LOAD

Dynamic load rating capacity C is defined as a dynamic uniform load with constant intensity and direction that allows a nominal life of 50 km prior to the onset of a material breakdown.

Dynamic load rating capacity C is limited by:

- Speed
- Operation cycle
- Load and/or applied moments

C values are shown on dimensional tables.

(following norm DIN dynamic load rating capacity C should be at least double than the equivalent applied load).

## 3.3. DURATA L

La durata nominale L per un sistema lineare a ricircolo di sfere (intesa come quel teorico percorso raggiunto da almeno il 90% di un significativo quantitativo di uguali carrelli senza formazione di segnali di affaticamento), è data dalla seguente relazione:

$$L = (C/P)^3 \times 50$$

## 3.3. NOMINAL LIFE L

Nominal life L (defined as the life expectancy reached by 90% of the same linear bearings group subjected to equal operating conditions prior to the onset of material breakdown) for a linear rail system is defined by the following formula:

dove:

L = durata nominale [km]  
C = capacità di carico dinamica [N]  
P = carico equivalente applicato [N]

Questa relazione vale nelle ipotesi di:

- Temperatura della pista di rotolamento  $\leq 100\text{ }^{\circ}\text{C}$
- Durezza delle piste di rotolamento  $\geq 58\text{ HRC}$
- Assenza di urti e vibrazioni
- Velocità di scorrimento  $< 15\text{ m/min}$
- Un pattino per rotaia,  $f_C = 1$

Qualora le condizioni di esercizio non rispettassero le condizioni sopracitate si deve utilizzare la seguente relazione:

$$L = a_1 \times ((f_H \times f_T \times f_C \times C) / (f_W \times P))^3 \times 50$$

dove:

$L$  = durata nominale [km]  
 $a_1$  = fattore di probabilità di cedimento  
 $f_H$  = fattore di durezza  
 $f_T$  = fattore di temperatura  
 $f_C$  = fattore di contatto  
 $f_W$  = fattore di carico  
 $C$  = capacità di carico dinamica [N]  
 $P$  = carico equivalente applicato [N]

Di seguito vengono definiti i fattori  $a_1, f_H, f_T, f_W$ .

where:

$L$  = nominal life [km]  
 $C$  = dynamic load rating capacity [N]  
 $P$  = equivalent applied load [N]

This relation has validity if:

- Temperature of rail's raceways  $\leq 100\text{ }^{\circ}\text{C}$
- Hardness of rolling lanes  $\geq 58\text{ HRC}$
- No presence of impacts or vibrations
- Working speed  $< 15\text{ m/min}$
- One block for rail,  $f_C = 1$

If these conditions aren't respected, use the following relation:

where:

$L$  = nominal life [km]  
 $a_1$  = reliability factor  
 $f_H$  = hardness factor  
 $f_T$  = temperature factor  
 $f_C$  = contact factor  
 $f_W$  = load factor  
 $C$  = dynamic load rating capacity [N]  
 $P$  = equivalent applied load [N]

Definition of  $a_1, f_H, f_T$  and  $f_W$  factors:

### 3.3.1. FATTORE A<sub>1</sub>

Il fattore  $a_1$  tiene conto della probabilità percentuale C% di non cedimento.

Tabella - Fattore di probabilità di non cedimento  $a_1$

C%	80	85	90	92	95	96	97	98	99
$a_1$	<b>1.96</b>	<b>1.48</b>	<b>1.00</b>	<b>0.81</b>	<b>0.62</b>	<b>0.53</b>	<b>0.44</b>	<b>0.33</b>	<b>0.21</b>

Si noti che per C% = 90,  $a_1 = 1.00$ .

### 3.3.1. FACTOR A<sub>1</sub>

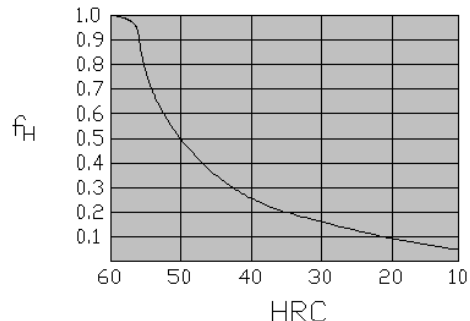
Factor  $a_1$  represents the reliability of not breakdown C%.

Table - Reliability factor  $a_1$

Note for C% = 90,  $a_1 = 1.00$ .

### 3.3.2. FATTORE DI DUREZZA $f_H$

Una durezza della pista di contatto inferiore a 58 HRC favorisce il fenomeno dell'usura penalizzando quindi la durata del sistema.

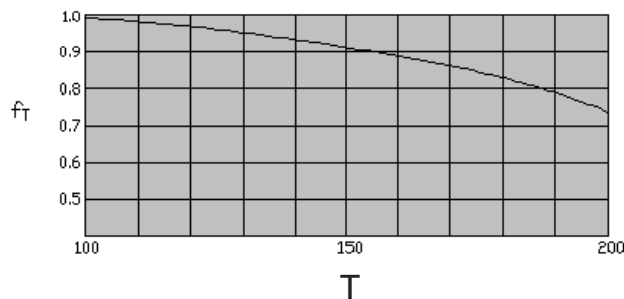


### 3.3.2. HARDNESS FACTOR $f_H$

A superficial raceway hardness under 58 HRC favours the material breakdown and consequently a lower nominal life.

### 3.3.3. FATTORE DI TEMPERATURA $f_T$

È necessario conoscere la temperatura dell'ambiente esterno del sistema, poiché un valore superiore a 100 °C può modificare le proprietà dei materiali con il conseguente effetto di riduzione della durata.



### 3.3.3. TEMPERATURE FACTOR $f_T$

*It's important to know the element's working temperature because if it is higher than 100 °C there will be a significant reduction of nominal life caused by changing material's property.*

### 3.3.4. FATTORE DI CARICO $f_W$

Qualora non fosse possibile calcolare con esattezza tutti i carichi dinamici applicati, quali ad esempio forze d'inerzia e relativi momenti ribaltanti, vibrazioni ed eventuali urti generati specialmente alle alte velocità, tali fenomeni vengono considerati tramite questo fattore.

Tabella - Fattore di carico  $f_W$

### 3.3.4. LOAD FACTOR $f_W$

*If it were not possible to calculate all the dynamic applied loads with high accuracy, as for example inertial forces and consequential moments, vibrations and impacts, especially at high speed, these adjunctives loads would have to be considered by this factor.*

Condizioni di lavoro Working conditions	Vibrazioni misurate Misurated vibrations	$f_W$
Urti e vibrazioni assenti e/o velocità bassa <i>No impacts, no vibrations and/or slow speed</i> ( $v \leq 15 \text{ m/min}$ )	$G \leq 0,5$	1.0 ÷ 1.5
Urti e vibrazioni leggeri e/o velocità media <i>Light impacts and light vibrations, medium speed</i> ( $15 < v < 60 \text{ m/min}$ )	$0,5 < G \leq 1,0$	1.5 ÷ 2.0
Urti e vibrazioni forti e/o velocità alta <i>Hard impacts and hard vibrations, high speed</i> ( $v \geq 60 \text{ m/min}$ )	$1,0 < G \leq 2,0$	2.0 ÷ 3.5

La durata effettiva  $L_{eff}$  (o durata di esercizio) può essere differente da quella nominale  $L$  calcolata in quanto essa dipende inoltre da:

- Ambiente esterno (presenza di polveri e/o agenti ossidanti)
- Lubrificazione
- Montaggio delle guide (eventuali disallineamenti)
- Precarico

*Effective life  $L_{eff}$  (excercise life) may be different from the calculate nominal  $L$ , depending the former on:*

- External conditions (presence of dust and/or oxidative agents)
- Lubrication
- Rail mounting (presence of misalignements)
- Preload

### 3.3.5. DURATA $L_h$

Conoscendo  $L$  (durata nominale in km di percorso) si può ricavare la durata di servizio in ore ( $L_h$ ).

Essa può essere ricavata in condizioni di:

- Velocità costante:  $L_h = L \times 10^3$
- Velocità variabile:  $L_h = L \times 10^3$

#### Velocità costante

La durata di servizio in ore  $L_h$  è funzione della lunghezza della corsa e del numero dei cicli alternativi al minuto; si ricava dalla seguente relazione:

$$L_h = L \times 10^3 / (2 \times l_c \times n_{alt} \times 60)$$

dove:

- |           |  |
|-----------|--|
| $L_h$     | = durata di servizio [ore]                   |
| $L$       | = durata nominale [km]                       |
| $l_c$     | = lunghezza corsa [m]                        |
| $n_{alt}$ | = numero cicli alternativi al minuto [min-1] |

where:

- |           |  |
|-----------|--|
| $L_h$     | = nominal travel life [h]                        |
| $L$       | = nominal life [km]                              |
| $l_c$     | = travel lenght [m]                              |
| $n_{alt}$ | = number of alternative cycle for minute [min-1] |

#### Velocità variabile

La durata di servizio in ore  $L_h$  è funzione della velocità media

#### Not uniform speed

*Nominal travel life expressed in hours is function of the average speed*

$$L_h = L \times 10^3 / (v_m \times 60)$$

dove:

- |       |  |
|-------|--|
| $L_h$ | = durata di servizio [ore]                                     |
| $L$   | = durata nominale [km]   |
| $v_m$ | = velocità media pari a: $\sum_{i=1}^n v_i \times q_i$ [m/min] |
| $v_i$ | = velocità i-esima [m/min]                                     |
| $q_i$ | = ripartizione percentuale di $v_i$ ( $\sum_{i=1}^n q_i = 1$ ) |

where:

- |       |  |
|-------|--|
| $L_h$ | = nominal travel life [h]                              |
| $L$   | = nominal life [km]                                    |
| $v_m$ | = average speed: $\sum_{i=1}^n v_i \times q_i$ [m/min] |
| $v_i$ | = i-part speed [m/min]                                 |
| $q_i$ | = i-part portion of $v_i$ ( $\sum_{i=1}^n q_i = 1$ )   |

### 3.3.6. RESISTENZA D'ATTRITO

Il calcolo della resistenza d'attrito  $S$  è data dalla seguente relazione: *The frictional resistance  $S$  is given by the following relation:*

$$S = \mu \times F_y + f \times n^{\circ} \text{ pattini} / n^{\circ} \text{ blocks}$$

dove:

$S$  = resistenza d'attrito

(denominata anche forza d'attrito o forza di spinta) [N]

$\mu$  = coefficiente d'attrito

( $0.003 \leq \mu \leq 0.005$  con  $P/C > 0,1$ )

$F_y$  = carico in direzione y [N]

$f$  = attrito delle tenute [N]

$n^{\circ}$  pattini = numero pattini

### 3.3.6. FRICTION RESISTANCE

Il calcolo della resistenza d'attrito  $S$  è data dalla seguente relazione: *The frictional resistance  $S$  is given by the following relation:*

$$S = \mu \times F_y + f \times n^{\circ} \text{ pattini} / n^{\circ} \text{ blocks}$$

where:

$S$  = friction resistance

(named friction force or push force) [N]

$\mu$  = friction coefficient

( $0.003 \leq \mu \leq 0.005$  with  $P/C > 0,1$ )

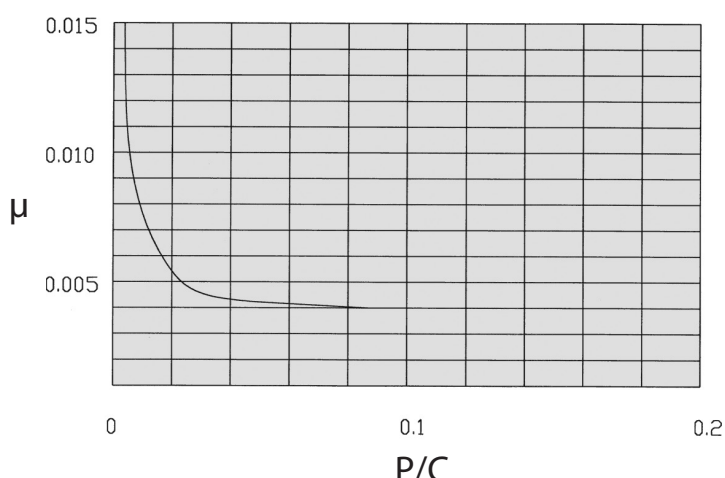
$F_y$  = load applied to direction y [N]

$f$  = seals friction [N]

$n^{\circ}$  blocks = number of blocks

Coefficiente di attrito  $\mu$

Friction coefficient  $\mu$



$P$  = carico equivalente applicato [N]

$C$  = capacità di carico dinamica [N]

$P$  = equivalent applied load [N]

$C$  = dynamic load rating capacity [N]

Attrito delle tenute  $f$

Seals friction  $f$

Tabella - Attrito delle tenute per pattino

Table - Seals friction for block

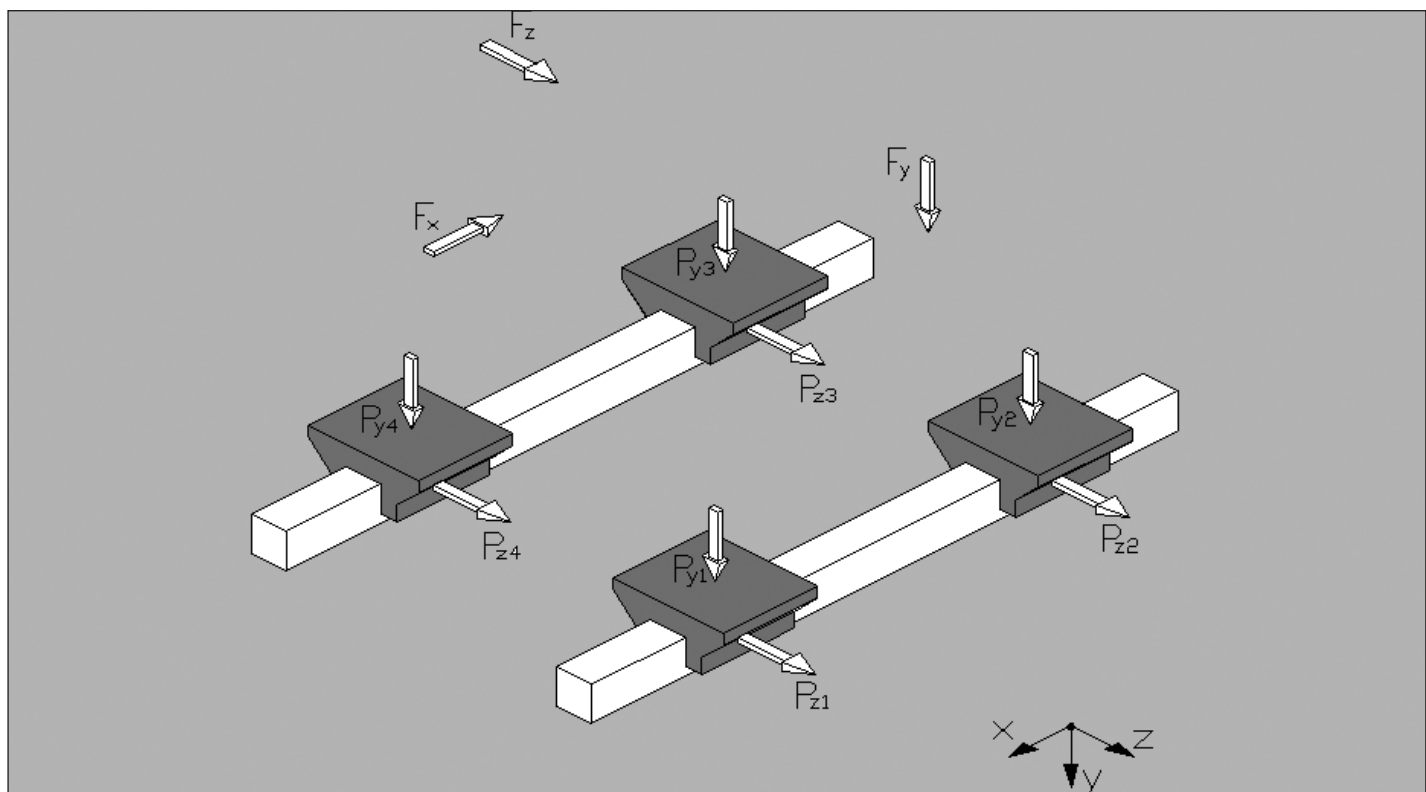
Taglia pattino Size block	$f$
15	3.1 N
20	3.9 N
25	4.4 N
30	5.4 N
35	7.4 N
45	9.1 N
55	10.2 N
65	19.6 N

## 4. CALCOLO DEL CARICO APPLICATO

Per una migliore comprensione dei calcoli inerenti i carichi in gioco, si conviene ad utilizzare la lettera F per indicare i carichi generici applicati alla struttura e la lettera P per indicare i carichi generati sulle guide

## 4. CALCULATION OF APPLIED LOAD

*For a better understanding of all the loads, we use F to indicate generic applied loads and P to indicate loads generated on the linear rail system.*



Data la variabilità dei carichi in gioco, si calcola un nuovo valore di carico costante definito "carico dinamico medio equivalente  $P_m$ " il quale, ai fini del calcolo della durata del sistema, determina gli stessi effetti dei carichi variabili agenti. Per il calcolo della durata L si consideri:

*Given the variability of applied loads, we calculate a new uniform load called, "equivalent dynamic mean load  $P_m$ " that gives the same effects to the linear system's nominal life as the not uniform applied loads. To calculate the nominal life L consider:*

$$P_m = P$$

## 4.1. CARICO DINAMICO MEDIO EQUIVALENTE

Nelle condizioni di variazione di carico a gradini e di velocità costante: *In case of uniform speed and step load variation:*

$$P_m = \sqrt[3]{(P_1^3 \times L_1 + P_2^3 \times L_2 + \dots + P_n^3 \times L_n)/L}$$

dove:

$P_m$  = carico dinamico medio equivalente [N]

$P_n$  = carico n-simo applicato [N]

$L$  = corsa totale [m]

$L_n$  = corsa con carico  $P_n$  [m]

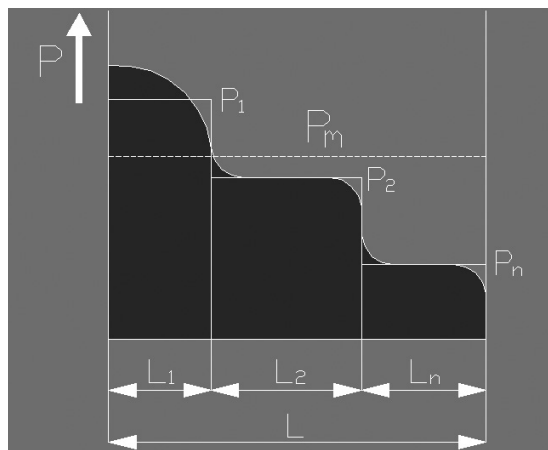
where:

$P_m$  = equivalent dynamic mean load [N]

$P_n$  = n-part of applied load [N]

$L$  = total run [m]

$L_n$  = run with  $P_n$  load



Nelle condizioni di variazione lineare di carico e di velocità costante: *In case of linear variation of load and uniform speed:*

$$P_m \approx (P_{\min} + 2 \times P_{\max})/3$$

dove:

$P_m$  = carico dinamico medio equivalente [N]

$P_{\min}$  = carico minimo [N]

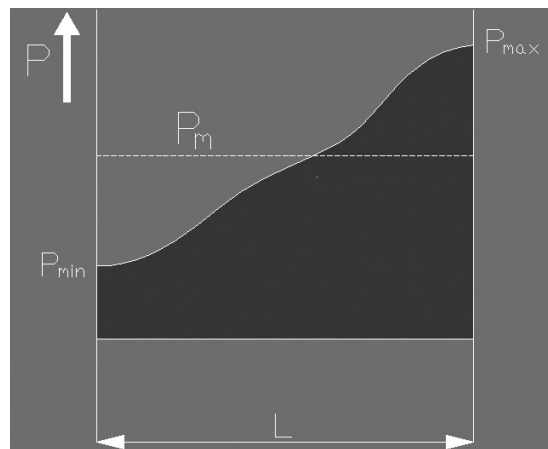
$P_{\max}$  = carico massimo [N]

where:

$P_m$  = equivalent dynamic mean load [N]

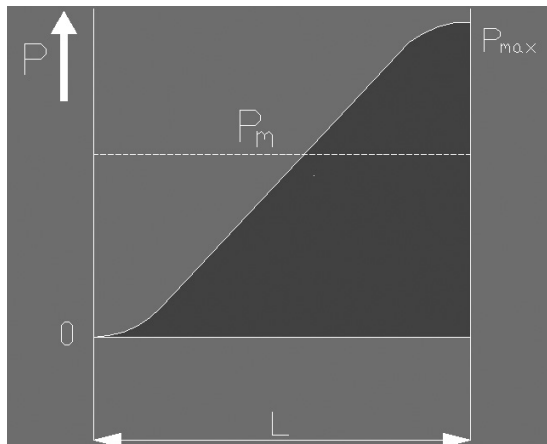
$P_{\min}$  = minimum load [N]

$P_{\max}$  = maximum load [N]



Nelle condizioni di variazione sinusoidale di carico e di velocità costante:

$$P_m \approx 0.65 P_{max}$$



dove:

- $P_m$  = carico dinamico medio equivalente [N]  
 $P_{max}$  = carico massimo [N]

Nelle condizioni di variazione graduale di carico e di velocità:

$$P_m = \sqrt[3]{(q_1 \times P_1^3 \times v_1 + q_2 \times P_2^3 \times v_2 + \dots + q_n \times P_n^3 \times v_n) / (q_1 \times v_1 + q_2 \times v_2 + \dots + q_n \times v_n)}$$

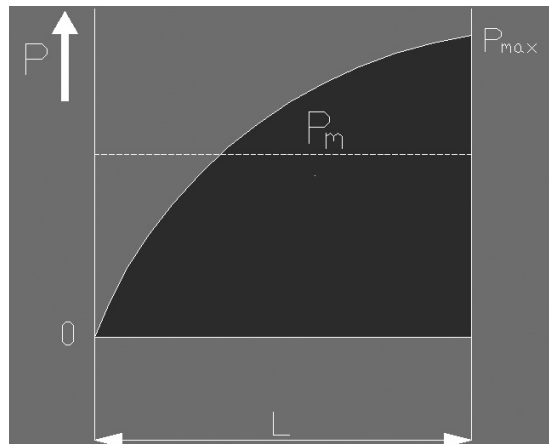
dove:

- $P_m$  = carico dinamico medio equivalente [N]  
 $q_n$  = ripartizione percentuale n-esima [%]  
 $P_n$  = carico n-esimo [N]  
 $v_n$  = velocità n-esima [m/min]

In ogni altro caso si consideri

*In case of sinusoidal variation of load and uniform speed:*

$$P_m \approx 0.75 P_{max}$$



where:

- $P_m$  = equivalent dynamic mean load [N]  
 $P_{max}$  = maximum load [N]

*In case of load and speed variation:*

where:

- $P_m$  = equivalent dynamic mean load [N]  
 $q_n$  = n-part percentual portion [%]  
 $P_n$  = n-part of applied load [N]  
 $v_n$  = n-part speed [m/min]

*In other case*

$$P_m = P_{max}.$$

### Carichi su più direzioni

Per il calcolo delle sollecitazioni, qualora esse siano presenti in entrambi le due direzioni principali y e z si devono sommare i loro moduli:  
(per comodità, si usi la lettera P per indicare il carico dinamico medio equivalente)

$$P = |P_y| + |P_z|$$

dove:

- $P$  = carico equivalente applicato [N]  
 $P_y$  = carico agente in direzione y [N]  
 $P_z$  = carico agente in direzione z [N]

where:

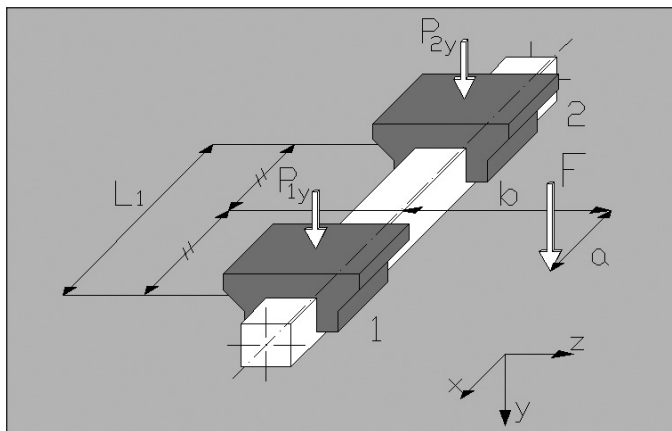
- $P$  = equivalent applied load [N]  
 $P_y$  = load applied to direction y [N]  
 $P_z$  = load applied to direction z [N]

## 4.2. ESEMPI DI CALCOLI PER APPLICAZIONI PIÙ COMUNI

I nove esempi seguenti vogliono essere un'illustrazione di come effettuare il calcolo dei carichi agenti per i più comuni tipi di impiego di sistemi lineari di questa tipologia.

### Esempio 1

Montaggio su piano orizzontale, guida singola, due cursori, carico a sbalzo, assenza di forze d'inerzia.



a = distanza x tra forza F e centro dei cursori

b = distanza z tra forza F e asse guida

## 4.2. CALCULATION EXAMPLES OF THE MOST COMMON APPLICATIONS

The following nine examples show how to calculate the applied loads of the linear rail system with the most common applications.

### Example 1

Assembling on horizontal plane, single rail, two blocks, jutting load, not inertial forces.

$$P_{1y} = F/2 + F/2 \times b \times C_0 / M_{0x} + F \times a / L_1$$

$$P_{2y} = F/2 + F/2 \times b \times C_0 / M_{0x} - F \times a / L_1$$

*a = x distance between F force and block's center*

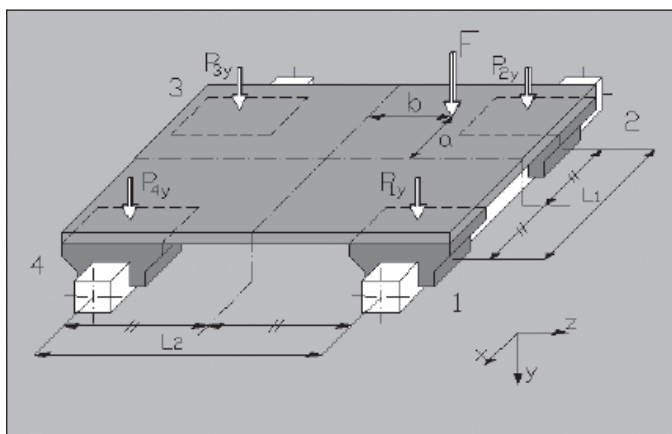
*b = z distance between F force and rail's axis*

### Esempio 2

Montaggio su piano orizzontale, guida doppia, quattro cursori, assenza di forze d'inerzia.

### Example 2

Assembling on horizontal plane, double rail, four blocks, no inertial forces.



a = distanza x tra forza F e asse principale

b = distanza z tra forza F e asse principale

*a = x distance between F force and main axis*

*b = z distance between F force and main axis*

$$P_{1y} = F/4 - F \times a / (2 \times L_1) + F \times b / (2 \times L_2)$$

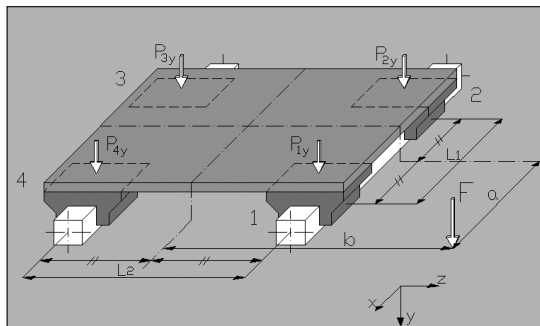
$$P_{2y} = F/4 + F \times a / (2 \times L_1) + F \times b / (2 \times L_2)$$

$$P_{3y} = F/4 + F \times a / (2 \times L_1) - F \times b / (2 \times L_2)$$

$$P_{4y} = F/4 - F \times a / (2 \times L_1) - F \times b / (2 \times L_2)$$

**Esempio 3**

Montaggio su piano orizzontale, guida doppia, quattro cursori, carico a sbalzo, assenza di forze d'inerzia.



a = distanza x tra forza F e centro dei cursori

b = distanza z tra forza F e asse guida

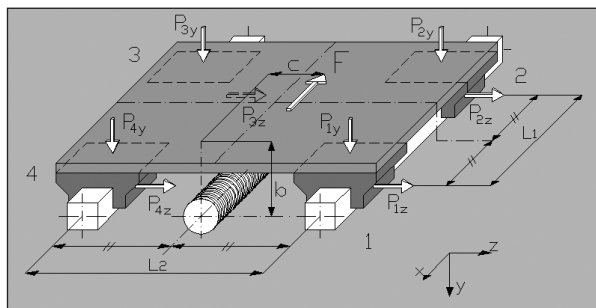
**Example 3**

Assembling on horizontal plane, double rail, four blocks, jutting load, no inertial forces.

$$\begin{aligned} P_{1y} &= F/4 + F \cdot a / (2 \times L_1) + F \cdot b / (2 \times L_2) \\ P_{2y} &= F/4 - F \cdot a / (2 \times L_1) + F \cdot b / (2 \times L_2) \\ P_{3y} &= F/4 - F \cdot a / (2 \times L_1) - F \cdot b / (2 \times L_2) \\ P_{4y} &= F/4 + F \cdot a / (2 \times L_1) - F \cdot b / (2 \times L_2) \end{aligned}$$

**Esempio 4**

Montaggio su piano orizzontale, guida doppia, quattro cursori, carico in direzione x, assenza di forze d'inerzia.



b = distanza y tra forza F e asse principale

c = distanza z tra forza F e asse principale

**Example 4**

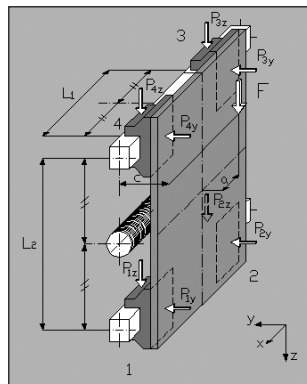
Assembling on horizontal plane, double rail, four blocks, load with x direction, no inertial forces.

$$\begin{aligned} P_{1y} &= -F \cdot b / (2 \times L_1) & P_{1z} &= F \cdot c / (2 \times L_2) \\ P_{2y} &= F \cdot b / (2 \times L_1) & P_{2z} &= -F \cdot c / (2 \times L_2) \\ P_{3y} &= F \cdot b / (2 \times L_1) & P_{3z} &= -F \cdot c / (2 \times L_2) \\ P_{4y} &= -F \cdot b / (2 \times L_1) & P_{4z} &= F \cdot c / (2 \times L_2) \end{aligned}$$

$$\begin{aligned} P_1 &= |P_{1y}| + |P_{1z}| & P_2 &= |P_{2y}| + |P_{2z}| \\ P_3 &= |P_{3y}| + |P_{3z}| & P_4 &= |P_{4y}| + |P_{4z}| \end{aligned}$$

**Esempio 5**

Montaggio su piano verticale a corsa orizzontale, guida doppia, quattro cursori, assenza di forze d'inerzia.



a = distanza x tra forza F e asse principale

c = distanza z tra forza F e asse principale

**Example 5**

Assembling on vertical plane, double rail, four blocks, no inertial forces.

$$\begin{aligned} P_{1y} &= F \cdot c / (2 \times L_2) & P_{1z} &= F/4 - F \cdot a / (2 \times L_1) \\ P_{2y} &= F \cdot c / (2 \times L_2) & P_{2z} &= F/4 + F \cdot a / (2 \times L_1) \\ P_{3y} &= -F \cdot c / (2 \times L_2) & P_{3z} &= F/4 + F \cdot a / (2 \times L_1) \\ P_{4y} &= -F \cdot c / (2 \times L_2) & P_{4z} &= F/4 - F \cdot a / (2 \times L_1) \end{aligned}$$

$$\begin{aligned} P_1 &= |P_{1y}| + |P_{1z}| & P_2 &= |P_{2y}| + |P_{2z}| \\ P_3 &= |P_{3y}| + |P_{3z}| & P_4 &= |P_{4y}| + |P_{4z}| \end{aligned}$$

a = x distance between F force and main axis

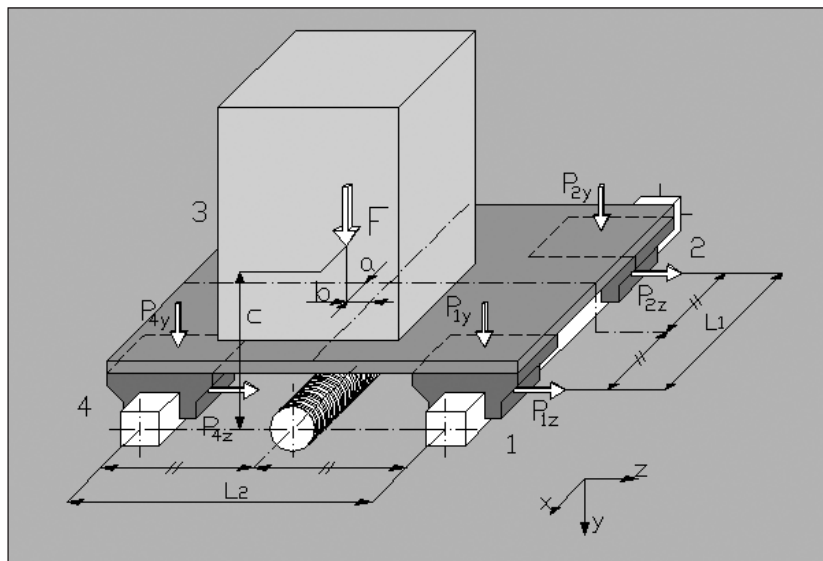
c = z distance between F force and main axis

**Esempio 6**

Montaggio su piano orizzontale, guida doppia, quattro cursori, presenza di forze d'inerzia.

**Example 6**

Assembling on horizontal plane, double rail, four blocks, presence of inertial forces.



In accelerazione:

$$P_{1y} = F/4 + F \times a / (2 \times L_1) - F \times b / (2 \times L_2) - m \times a_c \times c / (2 \times L_1)$$

$$P_{2y} = F/4 - F \times a / (2 \times L_1) - F \times b / (2 \times L_2) + m \times a_c \times c / (2 \times L_1)$$

$$P_{3y} = F/4 - F \times a / (2 \times L_1) + F \times b / (2 \times L_2) + m \times a_c \times c / (2 \times L_1)$$

$$P_{4y} = F/4 + F \times a / (2 \times L_1) + F \times b / (2 \times L_2) - m \times a_c \times c / (2 \times L_1)$$

$$P_1 = |P_{1y}| + |P_{1z}|$$

$$P_2 = |P_{2y}| + |P_{2z}|$$

$$P_3 = |P_{3y}| + |P_{3z}|$$

$$P_4 = |P_{4y}| + |P_{4z}|$$

In decelerazione:

$$P_{1y} = F/4 + F \times a / (2 \times L_1) - F \times b / (2 \times L_2) + m \times d_c \times c / (2 \times L_1)$$

$$P_{2y} = F/4 - F \times a / (2 \times L_1) - F \times b / (2 \times L_2) - m \times a_c \times c / (2 \times L_1)$$

$$P_{3y} = F/4 - F \times a / (2 \times L_1) - F \times b / (2 \times L_2) - m \times a_c \times c / (2 \times L_1)$$

$$P_{4y} = F/4 + F \times a / (2 \times L_1) - F \times b / (2 \times L_2) + m \times d_c \times c / (2 \times L_1)$$

$$P_1 = |P_{1y}| + |P_{1z}|$$

$$P_2 = |P_{2y}| + |P_{2z}|$$

$$P_3 = |P_{3y}| + |P_{3z}|$$

$$P_4 = |P_{4y}| + |P_{4z}|$$

$F$  = carico applicato nel baricentro

$m$  =  $F / 9,81$

$a_c$  = accelerazione (velocità / tempo di accelerazione)

$d_c$  = decelerazione (velocità / tempo di decelerazione)

$a$  = distanza  $x$  tra forza  $F$  e asse principale

$b$  = distanza  $z$  tra forza  $F$  e asse principale

$c$  = distanza  $y$  tra forza  $F$  e asse principale

(le formule si riferiscono al moto concorde all'asse di riferimento  $x$ ; nel caso di moto contrario, si invertano i segni di tutti i fattori contenenti il termine  $m$ ).

At acceleration:

$$P_{1z} = -m \times a_c \times b / (2 \times L_1)$$

$$P_{2z} = m \times a_c \times c / (2 \times L_1)$$

$$P_{3z} = m \times a_c \times c / (2 \times L_1)$$

$$P_{4z} = -m \times a_c \times c / (2 \times L_1)$$

At deceleration:

$$P_{1z} = m \times d_c \times b / (2 \times L_1)$$

$$P_{2z} = -m \times d_c \times c / (2 \times L_1)$$

$$P_{3z} = -m \times d_c \times c / (2 \times L_1)$$

$$P_{4z} = m \times d_c \times b / (2 \times L_1)$$

$F$  = load applied in the barycenter

$m = F / 9,81$

$a_c$  = acceleration (speed / acceleration time)

$d_c$  = deceleration (speed / deceleration time)

$a$  =  $x$  distance between  $F$  force and main axis

$b$  =  $y$  distance between  $F$  force and main axis

$c$  =  $z$  distance between  $F$  force and main axis

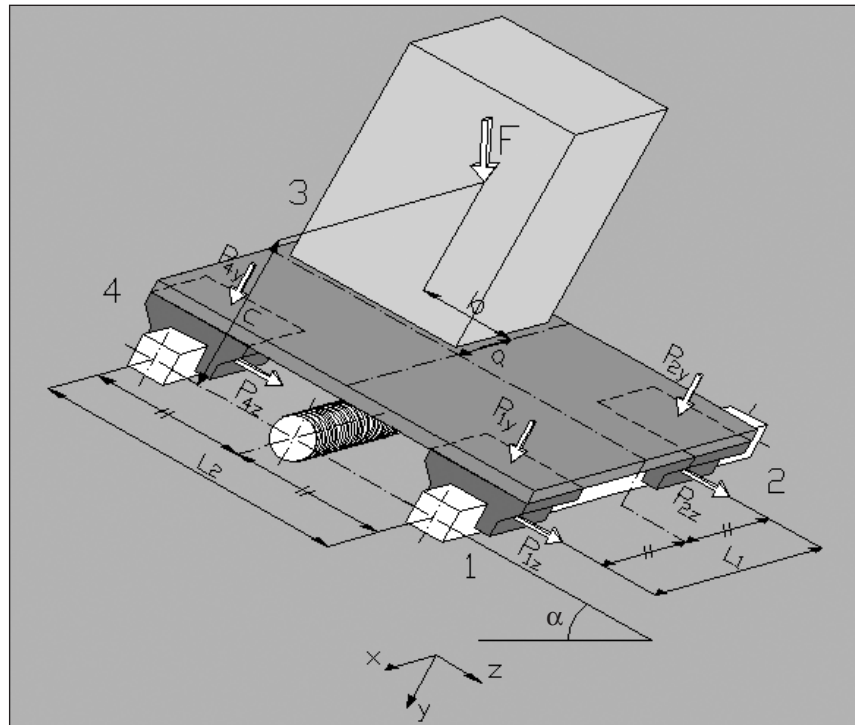
(the formula are related to the motion which follows the main  $x$  axis; in case of opposite motion, change the sign of all the factors with  $m$  term).

**Esempio 7**

Montaggio su piano inclinato (rotazione  $\alpha$  dell'asse x), guida doppia, quattro cursori, assenza di forze d'inerzia.

**Example 7**

Assembling on inclined plane (rotation  $\alpha$  of x axis), double rail, four blocks, no inertial forces.



$$P_{1y} = \cos\alpha \times F/4 - \cos\alpha \times F \times b / (2 \times L_2) - \cos\alpha \times F \times a / (2 \times L_1) + \sin\alpha \times F \times c / (2 \times L_2)$$

$$P_{2y} = \cos\alpha \times F/4 - \cos\alpha \times F \times b / (2 \times L_2) + \cos\alpha \times F \times a / (2 \times L_1) + \sin\alpha \times F \times c / (2 \times L_2)$$

$$P_{3y} = \cos\alpha \times F/4 + \cos\alpha \times F \times b / (2 \times L_2) + \cos\alpha \times F \times a / (2 \times L_1) - \sin\alpha \times F \times c / (2 \times L_2)$$

$$P_{4y} = \cos\alpha \times F/4 + \cos\alpha \times F \times b / (2 \times L_2) - \cos\alpha \times F \times a / (2 \times L_1) - \sin\alpha \times F \times c / (2 \times L_2)$$

$$P_1 = |P_{1y}| + |P_{1z}| \quad P_2 = |P_{2y}| + |P_{2z}| \quad P_3 = |P_{3y}| + |P_{3z}| \quad P_4 = |P_{4y}| + |P_{4z}|$$

F = carico applicato nel baricentro

a = distanza x tra forza F e asse principale

b = distanza z tra forza F e asse principale

c = distanza y tra forza F e asse principale

*F = load applied in the barycenter*

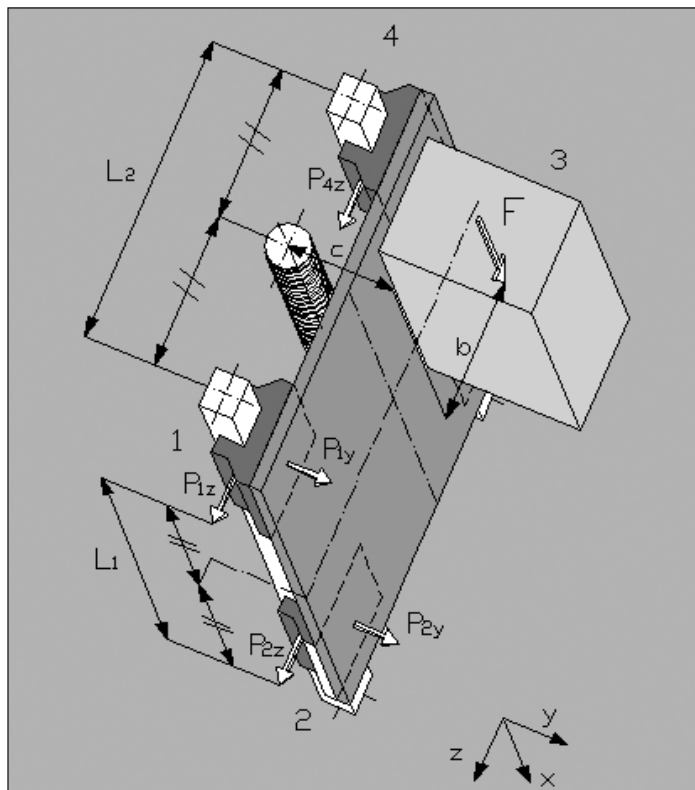
*a = x distance between F force and main axis*

*b = z distance between F force and main axis*

*c = y distance between F force and main axis*

**Esempio 8**

Montaggio su piano verticale a corsa verticale, guida doppia, quattro cursori, presenza di forze d'inerzia.



In accelerazione:

$$\begin{aligned} P_{1y} = P_{4y} &= -F \times c / (2 \times L_1) - m \times a_c \times c / (2 \times L_1) & P_{1z} = P_{4z} &= F \times b / (2 \times L_1) + m \times a_c \times b / (2 \times L_1) \\ P_{2y} = P_{3y} &= -F \times c / (2 \times L_1) + m \times a_c \times c / (2 \times L_1) & P_{2z} = P_{3z} &= -F \times b / (2 \times L_1) - m \times a_c \times b / (2 \times L_1) \end{aligned}$$

$$P_1 = |P_{1y}| + |P_{1z}| \quad P_2 = |P_{2y}| + |P_{2z}| \quad P_3 = |P_{3y}| + |P_{3z}| \quad P_4 = |P_{4y}| + |P_{4z}|$$

In decelerazione:

$$\begin{aligned} P_{1y} = P_{4y} &= -F \times c / (2 \times L_1) + m \times d_c \times c / (2 \times L_1) & P_{1z} = P_{4z} &= F \times b / (2 \times L_1) - m \times d_c \times b / (2 \times L_1) \\ P_{2y} = P_{3y} &= -F \times c / (2 \times L_1) - m \times a_c \times c / (2 \times L_1) & P_{2z} = P_{3z} &= -F \times b / (2 \times L_1) + m \times a_c \times b / (2 \times L_1) \end{aligned}$$

$$P_1 = |P_{1y}| + |P_{1z}| \quad P_2 = |P_{2y}| + |P_{2z}| \quad P_3 = |P_{3y}| + |P_{3z}| \quad P_4 = |P_{4y}| + |P_{4z}|$$

$F$  = carico applicato nel baricentro

$m = F / 9.81$

$a_c$  = accelerazione (velocità / tempo di accelerazione)

$d_c$  = decelerazione (velocità / tempo di decelerazione)

$b$  = distanza z tra forza  $F$  e asse principale

$c$  = distanza y tra forza  $F$  e asse principale

(le formule si riferiscono al moto discorde all'asse di riferimento x; nel caso di moto concorde, si invertano i segni di tutti i fattori contenenti il termine  $m$ ).

**Example 8**

Assembling on vertical plane with vertical translation, double rail, four blocks, presence of inertial forces.

A velocità costante o nulla:

At uniform speed or stationary system:

$$\begin{aligned} P_{1y} = P_{4y} &= -F \times c / (2 \times L_1) & P_{1z} &= F \times b / (2 \times L_1) \\ P_{2y} = P_{3y} &= F \times c / (2 \times L_1) & P_{2z} &= -F \times b / (2 \times L_1) \\ P_{3y} &= F \times c / (2 \times L_1) & P_{3z} &= -F \times b / (2 \times L_1) \\ P_{4y} &= -F \times c / (2 \times L_1) & P_{4z} &= F \times b / (2 \times L_1) \end{aligned}$$

$$\begin{aligned} P_1 &= |P_{1y}| + |P_{1z}| & P_2 &= |P_{2y}| + |P_{2z}| \\ P_3 &= |P_{3y}| + |P_{3z}| & P_4 &= |P_{4y}| + |P_{4z}| \end{aligned}$$

At acceleration:

At deceleration:

$F$  = load applied in the barycenter

$m = F / 9.81$

$a_c$  = acceleration (speed / acceleration time)

$d_c$  = deceleration (speed / deceleration time)

$b$  = z distance between  $F$  force and main axis

$c$  = y distance between  $F$  force and main axis

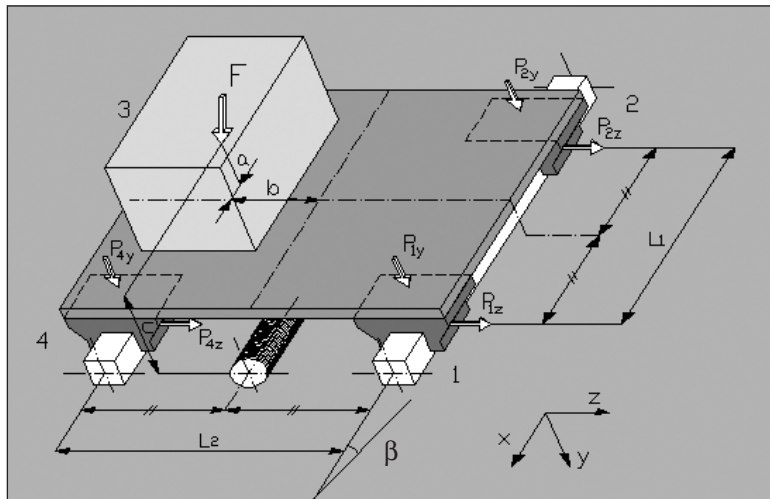
(the formula are related to the motion which follows the main x axis; in case of opposite motion, change the sign to all the factors with  $m$  term).

**Esempio 9**

Montaggio su piano inclinato (rotazione  $\beta$  dell'asse z), guida doppia, quattro cursori, assenza di forze d'inerzia.

**Example 9**

Assembling on inclined plane (rotation  $\beta$  of z axis), double rail, four blocks, no inertial forces.



$$P_{1z} = \sin\beta \times F \times b / (2 \times L_1)$$

$$P_{2z} = -\sin\beta \times F \times a / (2 \times L_1)$$

$$P_{3z} = -\sin\beta \times F \times a / (2 \times L_1)$$

$$P_{4z} = \sin\beta \times F \times b / (2 \times L_1)$$

$$P_{1y} = \cos\beta \times F/4 - \cos\beta \times F \times b / (2 \times L_2) - \cos\beta \times F \times a / (2 \times L_1) + \sin\beta \times F \times c / (2 \times L_1)$$

$$P_{2y} = \cos\beta \times F/4 - \cos\beta \times F \times b / (2 \times L_2) + \cos\beta \times F \times a / (2 \times L_1) - \sin\beta \times F \times c / (2 \times L_1)$$

$$P_{3y} = \cos\beta \times F/4 + \cos\beta \times F \times b / (2 \times L_2) + \cos\beta \times F \times a / (2 \times L_1) - \sin\beta \times F \times c / (2 \times L_1)$$

$$P_{4y} = \cos\beta \times F/4 + \cos\beta \times F \times b / (2 \times L_2) - \cos\beta \times F \times a / (2 \times L_1) + \sin\beta \times F \times c / (2 \times L_1)$$

$$P_1 = |P_{1y}| + |P_{1z}| \quad P_2 = |P_{2y}| + |P_{2z}| \quad P_3 = |P_{3y}| + |P_{3z}| \quad P_4 = |P_{4y}| + |P_{4z}|$$

F = carico applicato nel baricentro

a = distanza x tra forza F e asse principale

b = distanza z tra forza F e asse principale

c = distanza y tra forza F e asse principale

*F = load applied in the barycenter*

*a = x distance between F force and main axis*

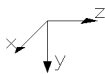
*b = z distance between F force and main axis*

*c = y distance between F force and main axis*

## 5. GUIDA PER LA CORRETTA INTERPRETAZIONE DEGLI SCHEMI

## 5. GUIDE FOR A RIGHT USE OF THE SCHEMES

### Sistema di riferimento principale x, y, z



Esso è lo strumento fondamentale per definire il posizionamento. Situato nell'intersezione delle mezzerie delle due distanze  $L_1$  e  $L_2$  definisce direzione e verso di ogni quota presente negli schemi oltre che direzione e verso dei carichi concentrati.

### Distanze principali $L_1$ e $L_2$

Definiscono le distanze di montaggio dei pattini; esse non sono dipendenti delle condizioni di carico, bensì dagli ingombri di montaggio disponibili (maggiore è il loro valore e minore diventa lo sforzo per ogni pattino).

$L_1$  è la distanza lungo l'asse di riferimento x;

$L_2$  è la distanza lungo l'asse di riferimento z;

(interasse di montaggio delle guide).

### Carichi concentrati $F_x$ , $F_y$ , $F_z$

Rappresentano i carichi applicati nelle 3 direzioni principali x, y, z.

$F_x$  è il carico applicato in direzione x

$F_y$  è il carico applicato in direzione y

$F_z$  è il carico applicato in direzione z

### Masse $m_1$ e $m_2$

I punti  $m_1$  e  $m_2$  rappresentano i baricentri di 2 generiche masse da movimentare.

### Quote $h_1$ e $h_2$

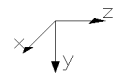
Le quote  $h_1$  e  $h_2$  definiscono le distanze tra l'asse principale dell'azionamento di traslazione (es. vite a ricircolo di sfere) rispetto il sistema di riferimento principale x, y, z.

$h_1$  = distanza in direzione y;

$h_2$  = distanza in direzione z;

(la distanza in direzione x non interessa).

### Main reference system x, y, z



*It is the basic instrument for the definition of the positioning. Situated at the intersection of the middles of  $L_1$  and  $L_2$ , it defines direction and toward of each spot height in the schemes, as well as of concentrated loads.*

### Main distances $L_1$ and $L_2$

*They define the mounting distance of blocks; they do not depend on load conditions, but on available overall mounting (as they increase, the force applied to the single blocks goes down).*

$L_1$  is the distance on the the main axis x

$L_2$  is the distance on the the main axis z

### Concentrated loads $F_x$ , $F_y$ , $F_z$

*They indicate the concentrated loads in the 3 main directions x, y, z.*

$F_x$  is the concentrated load on direction x

$F_y$  is the concentrated load on direction y

$F_z$  is the concentrated load on direction z

### Masses $m_1$ and $m_2$

*Points  $m_1$  and  $m_2$  indicate the barycenter of 2 generic masses to move.*

### Quotes $h_1$ and $h_2$

*Quotes  $h_1$  and  $h_2$  indicate the distances between the main axis of the motion device (ex. ballscrew) and the main reference system x, y, z.*

$h_1$  = distance in direction y;

$h_2$  = distance in direction z;

(the distance in direction x is not necessary).

**Momenti Mx, My, Mz**

I tre momenti Mx, My, Mz rappresentano i riferimenti per eventuali momenti applicati al sistema.

Mx = riferimento per momenti applicati in asse x

My = riferimento per momenti applicati in asse y

Mz = riferimento per momenti applicati in asse z

**DEFINIRE CORRETTAMENTE POSIZIONI E VERSI**

Nel definire le posizioni di tutti i possibili carichi applicati (carichi concentrati, masse e momenti) si deve prestare particolare attenzione ai segni (+ o -)

**Segni delle quote**

Un semplice metodo per individuare correttamente le quote è il seguente:

- qualsiasi sia l'elemento da rappresentare, partire sempre dall'origine del sistema di riferimento principale x, y, z
- scegliere una delle tre direzioni principali e tracciare il "percorso" per arrivare al punto desiderato utilizzando poi le due rimanenti direzioni principali
- nel tracciare il "percorso" definire i versi di orientamento per ogni direzione principale x, y e z
- controllare i versi di orientamento appena decritti con il sistema di riferimento principale nelle rispettive direzioni; se questi sono concordi (le frecce hanno cioè lo stesso verso) il segno è positivo, se sono discordi (le frecce hanno verso opposto) il segno è negativo.

Le quote L1 e L2 hanno sempre valore positivo.

**Esempio**

Considerato uno degli schemi rappresentati, si prende a titolo di esempio la forza Fy.

Partendo dall'origine del sistema di riferimento principale, si percorre lungo la direzione z (direzione scelta arbitrariamente) per tracciare il percorso fino ad arrivare al punto desiderato, il punto di applicazione della forza Fy. Definita la distanza z, si percorre la direzione x per arrivare poi alla direzione y e quindi al punto di arrivo.

Le tre quote individuate avranno pertanto:

- segno positivo per z poiché concorde all'asse di riferimento principale z
- segno negativo per x e per y poiché discordi ai rispettivi assi di riferimento principali x e y.

**Moments Mx, My, Mz**

The three moments Mx, My, Mz indicate the references to eventual moments applied to the system.

Mx = reference to moments applied on axis x;

My = reference to moments applied on axis y;

Mz = reference to moments applied on axis z;

**CORRECTLY DEFINE POSITIONS AND TOWARDS**

To define the positions of all the applied loads (concentrated loads, masses and moments) a particular attention should be paid to the signs (+ or -)

**Signs of quotes**

A simple way to correctly define the quotes is the following:

- whatever the element to indicate, it is always necessary to start from the main reference system x,y,z;
- choose one of the main three directions, make the thread using the other two main directions, in order to reach the wanted point
- while going to the wanted point, define the towards for every direction: x, y and z
- check the just found towards in the respective directions. If they correspond (the arrows have the same toward), then the sign will be positive. Otherwise, if the towards do not correspond (the arrows have opposite toward), the sign will be negative.

The distances L1 and L2 are only positive

**Example**

Considering one of the shown schemes, force Fy should be taken as examples.

Starting from the main system reference's origin, go along direction z (arbitrary choice) to trace the thread up to the wanted point: the application point of load Fy. Provided a definition of distance z, go along direction x to reach direction y and then to the final point.

The three found quotes will have:

- positive sign for z, corresponding it to the main reference axis z
- negative sign for x and y, not corresponding it to the main reference axis x and y.

## Segni delle forze

Come per le quote, controllare i versi delle forze rispetto al sistema di riferimento principale nelle rispettive direzioni; se questi sono concordi (le frecce hanno cioè lo stesso verso) il segno è positivo, se sono discordi (le frecce hanno verso opposto) il segno è negativo.

### Esempio

Considerato uno degli schemi rappresentati, si prende a titolo di esempio la forza  $F_x$ .

Essa avrà valore negativo poiché discorde rispetto l'asse di riferimento principale x.

## Segni dei momenti

Nel definire i segni di eventuali momenti applicati, verificare i loro versi rispetto ai 3 momenti di riferimento  $M_x, M_y, M_z$  indicati negli schemi; se questi sono concordi (le frecce hanno cioè lo stesso verso) il segno è positivo, se sono discordi (le frecce hanno verso opposto) il segno è negativo.

Definito il metodo per la corretta assegnazione delle quote, si elencano ora tutti i dati necessari per il dimensionamento:

### Quote $X_{Fy}, X_{Fz}, X_{m1}, X_{m2}$

Le quote  $X_{Fy}, X_{Fz}, X_{m1}, X_{m2}$  rappresentano le distanze in direzione x delle forze applicate e delle masse rispetto il sistema di riferimento principale x, y, z.

$X_{Fy}$  = distanza in direzione x del carico concentrato disposto lungo la direzione y

$X_{Fz}$  = distanza in direzione x del carico concentrato disposto lungo la direzione z

$X_{m1}$  = distanza in direzione x del baricentro della massa 1

$X_{m2}$  = distanza in direzione x del baricentro della massa 2.

### Quote $Y_{Fx}, Y_{Fz}, Y_{m1}, Y_{m2}$

Le quote  $Y_{Fx}, Y_{Fz}, Y_{m1}, Y_{m2}$  rappresentano le distanze in direzione y delle forze concentrate e delle masse rispetto il sistema di riferimento principale x, y, z.

$Y_{Fx}$  = distanza in direzione y del carico concentrato disposto lungo la direzione x

$Y_{Fz}$  = distanza in direzione y del carico concentrato disposto lungo la direzione z

$Y_{m1}$  = distanza in direzione y del baricentro della massa 1

$Y_{m2}$  = distanza in direzione y del baricentro della massa 2.

## Force' signs

As for the quotes, check the towards of the forces with reference to the main system in the corresponding directions. If the towards coincide (the arrows have the same toward), the sign will be positive. If they do not coincide (the arrows have opposite towards), the sign will be negative.

### Example

Considering one of the shown schemes  $F_x$  force should be taken as example.

It has negative sign not corresponding to the main reference axis x.

## Signs of the moments

To define the signs of possible applied moments, it is necessary to compare their towards to the three main reference moments  $M_x, M_y, M_z$  which are shown in the schemes. If they correspond (the arrows have the same toward) the sign will be positive. If they do not (the arrows have opposite towards), the sign will be negative.

Given a definition on the correct way to indicate the quotes, are all the data necessary to the dimensioning are listed.

### Quotes $X_{Fy}, X_{Fz}, X_{m1}, X_{m2}$

Quotes  $X_{Fy}, X_{Fz}, X_{m1}, X_{m2}$  indicate the distances in direction x of the concentrated loads and the masses on the of main reference system x, y, z.

$X_{Fy}$  = distance in direction x of the concentrated load applied in direction y;

$X_{Fz}$  = distance in direction x of the concentrated load applied in direction z;

$X_{m1}$  = distance in direction x of the barycenter of mass 1

$X_{m2}$  = distance in direction x of the barycenter of mass 2.

### Quotes $Y_{Fx}, Y_{Fz}, Y_{m1}, Y_{m2}$

Quotes  $Y_{Fx}, Y_{Fz}, Y_{m1}, Y_{m2}$  indicate the distances in direction y of the concentrated loads and of the masses on the basis of the main reference system x, y, z.

$Y_{Fx}$  = distance in direction y of the concentrated load applied along direction x

$Y_{Fz}$  = distance in direction y of the concentrated load applied along direction z

$Y_{m1}$  = distance in direction y of the barycenter of mass 1

$Y_{m2}$  = distance in direction y of the barycenter of mass 2.

**Quote  $Z_{Fx}$ ,  $Z_{Fy}$ ,  $Z_{m1}$ ,  $Z_{m2}$** 

Le quote  $Z_{Fx}$ ,  $Z_{Fy}$ ,  $Z_{m1}$ ,  $Z_{m2}$  rappresentano le distanze in direzione z delle forze concentrate e delle masse rispetto il sistema di riferimento principale x, y, z.

$Z_{Fx}$  = distanza in direzione z del carico concentrato disposto lungo la direzione x

$Z_{Fy}$  = distanza in direzione z del carico concentrato disposto lungo la direzione y

$Z_{m1}$  = distanza in direzione z del baricentro della massa 1

$Z_{m2}$  = distanza in direzione z del baricentro della massa 2.

Nonostante nei due schemi siano indicate anche le quote  $X_{Fx}$ ,  $Y_{Fy}$  e  $Z_{Fz}$ , esse non hanno alcun interesse ai fini del calcolo per il dimensionamento delle guide; il loro utilizzo serve tuttavia a schematizzare più chiaramente il sistema di carichi concentrati applicati.

**CARICHI APPLICATI**

- Carichi, applicati nelle 3 direzioni principali x, y e z  
(max 3 carichi concentrati per ogni direzione)
- Masse (max 3 masse)
- Momenti, applicati rispetto le 3 direzioni principali x, y e z  
(max 2 momenti per ogni direzione)

Per carichi applicati e momenti, si definisce inoltre la percentuale di presenza q; definita 100 la durata di un ciclo di lavoro, q rappresenta la percentuale di presenza del carico/momento durante tale ciclo.

**DATI CINETICI**

- Velocità massima di traslazione
- tempo in fase di accelerazione
- tempo in fase di decelerazione

**ROTAZIONI**

- Rotazione  $\alpha$  (rotazione rispetto asse x; vedi esempio n° 7)
- Rotazione  $\beta$  (rotazione rispetto asse z; vedi esempio n° 9)

**DISTANZE**

- L1 (distanza pattini lungo direzione x)
- L2 (distanza pattini lungo direzione z)
- h1 (quota di posizionamento dell'azionamento di traslazione in direzione y)
- h2 (quota di posizionamento dell'azionamento di traslazione in direzione z)

**Quotes  $Z_{Fx}$ ,  $Z_{Fy}$ ,  $Z_{m1}$ ,  $Z_{m2}$** 

*Quotes  $Z_{Fx}$ ,  $Z_{Fy}$ ,  $Z_{m1}$ ,  $Z_{m2}$  indicate the distances in direction z of the concentrated loads and of the masses according to the main reference system x, y, z.*

$Z_{Fx}$  = distance in direction z of the concentrated load applied along direction x

$Z_{Fy}$  = distance in direction z of the concentrated load applied along direction y

$Z_{m1}$  = distance in direction z of the barycenter of mass 1

$Z_{m2}$  = distance in direction z of the barycenter of mass 2.

*Although the quotes  $X_{Fx}$ ,  $Y_{Fy}$  e  $Z_{Fz}$ , are shown in the two schemes too, they are not necessary for the calculation programme. They have been shown to better understand the system of loads applied.*

**APPLIED LOADS**

- Concentrated loads, applied in the 3 main directions x, y and z  
(max 3 loads for each direction)
- Masses (max 3 masses)
- Moments applied to the 3 main directions x, y and z  
(max 2 moments for each direction)

*In case of concentrated loads and moments, the percentage of presence q is defined. Being 100 the duration of an operative cycle, q represents the percentage presence of load/movement during the operative cycle.*

**CINEMATICAL DATA**

- Maximal movement speed
- Time on acceleration phase
- Time on deceleration phase

**ROTATIONS**

- Rotation  $\alpha$  (rotation in spite of axis x; see example n° 7)
- Rotation  $\beta$  (rotation in spite of axis z; see example n° 9).

**DISTANCES**

- L1 (distance of blocks along x direction)
- L2 (distance of blocks along z direction)
- h1 (quote of the motion device along y direction)
- h2 (quote of the motion device along z direction).

## 6. LUBRIFICAZIONE

La lubrificazione è un elemento di fondamentale importanza per la garanzia di un corretto funzionamento dei sistemi profilati a ricircolo di sfere; essa deve essere presente sia precedentemente alla prima messa in esercizio, sia durante l'attività lavorativa del sistema, ad intervalli periodici. I vantaggi che ne derivano sono la riduzione di:

- Corrosione
- Attrito
- Usura
- Impurità

Nella valutazione del tipo di lubrificante da adottare, olio o grasso, si deve tenere conto che la lubrificazione a grasso ha i seguenti vantaggi:

- costi di dispositivi lubrificanti inferiori (se non c'è un impianto di lubrificazione centralizzato già esistente)
- Intervalli di rilubrificazione maggiori
- Favorevole alle tenute

mentre per la lubrificazione ad olio:

- Miglior distribuzione del lubrificante
- Favorevole allo smaltimento di calore (indicato quindi per alte velocità)
- Sostituzione quasi completa del lubrificante consumato

L'intervallo di rilubrificazione dipende dalla tipologia di ambiente esterno e dal tipo di carico.

Per tipologia di ambiente esterno s'intendono quei fattori esterni al sistema, quali ad esempio piccoli trucioli, materiale asportato per abrasione, temperature circostanti, umidità; per tipo di carico, invece, s'intendono quei fattori direttamente influenzanti il sistema, quali ad esempio urti, tipologie di carico torsionale, vibrazioni.

Tanto più tale intervallo è ridotto, tanto più conviene (a livello economico) un impianto di lubrificazione centralizzata; qualora tale intervallo sia più lungo può risultare conveniente utilizzare un sistema di lubrificazione manuale.

In generale la lubrificazione è influenzata negativamente dai seguenti fattori:

- Vibrazioni
- Elevate temperature di lavoro
- Presenza di condensa o eventuali spruzzi d'acqua
- Presenza di sostanze speciali (vapori, acidi, idrocarburi)
- Corse di lavoro ristrette
- Elevata dinamicità di funzionamento

In condizioni normali di esercizio del sistema si consiglia di utilizzare grassi lubrificanti con le seguenti caratteristiche minime:

## 6. LUBRICATION

*Lubrication plays a major role in the guarantee of a right employ of ball linear systems. Lubrication must be done both before and after the activity of the system. This process must occur at breaking times. Its advantages are the following:*

- Corrosion
- Friction
- Wear and tear
- Impurity

*When valuationing the lubricant to use, oil or grease, observe the following advantages for grease lubrication:*

- Less lubricant system cost (if there isn't a central lubrication system already present)
- Higher re-lubrication intervals
- Better for seals

*while for oil lubrication:*

- better lubricant distribution
- Favourable to lose heat (than indicate for high speed)
- Good substitution of used lubricant

*Lubricant interval depends by working conditions and the external ambient; external ambient means little shavings, surrounding temperature and umidity, working conditions; instead load means: vibrations, impacts and torques.*

*More the lubricant interval is short, better is to have a central lubricant system; instead, if this interval is not very short, it could be convenient a manual lubrication.*

*Generally the lubrication is negatively influenced by the following factors:*

- Vibrations
- High working temperatures
- Presence of umidity or sprinklings of water
- Presence of chemical substances (fumes, acids, hydrocarbons)
- Short travel lenght
- High dynamicity of working

*With normal working conditions use grease lubricants with following minimum characteristics:*

Tabella - Grassi lubrificanti

Table - Grease lubricants

GRASSO LUBRIFICANTE GREASE LUBRICANT	Riferimento DIN 51825 DIN reference 51825	Addensante <i>Condensing base</i>	Temperatura d'impiego <i>Temperature range</i>	Punto di goccia <i>Drop point</i>	Campo d'impiego <i>Working conditions</i>
	K2K;	Sapone di litio <i>Lithium soap</i>	-30 ÷ 120 °C	200 °C ca.	Multiuso, carichi non elevati <i>Various, not heavy loads</i>
	Classe di consistenza <i>Consistence class</i> NLGI 2 KP2K Rif. / Ref. DIN 51818	Sapone di litio (complesso) <i>Lithium soap (complex)</i>	-40 ÷ 120 °C	200 °C ca.	Forti carichi <i>Heavy loads</i>

Per gli oli lubrificanti far riferimento alle norme DIN per classi di viscosità VG 32-460.

As far as oil lubricants are concerned see DIN rules on viscosity classes VG 32-460.

Tabella - Oli lubrificanti

Table - Oil lubricants

CLASSE DI VISCOSITÀ VISCOSITY CLASS	VISCOSITÀ CINEMATICA A 40 °C CINEMATICS VISCOSITY AT 40 °C	CAMPO D'IMPIEGO WORKING CONDITIONS
VG 32	32	Velocità media e/o carichi limitati Medium speed and/or limited loads
VG 68	68	Velocità media e/o carichi limitati Medium speed and/or limited loads
VG 100	100	Velocità medio-bassa e/o carichi sostenuti Medium-slow speed and/or medium loads
VG 320	320	Velocità ridotte e/o forti carichi Slow speed and/or heavy loads

## 6.1. COMPATIBILITÀ DEI LUBRIFICANTI

Qualora si cambiasse tipo di lubrificante, o fossero presenti anche lubrorefrigeranti, è indispensabile controllarne la compatibilità. Generalmente i grassi si possono miscelare se hanno uguale:

- Viscosità (non si discosta di più di una classe VG)
- Addensante
- Base di olio minerale
- Consistenza

Gli oli minerali con stessa classificazione non dovrebbero avere uno scostamento maggiore di una classe VG, mentre quelli sintetici devono essere controllati sempre per valutarne compatibilità e miscibilità.

In ogni caso, attenersi alle disposizioni del fornitore di lubrificante.

## 6.1. COMPATIBILITY OF LUBRICANTS

If the lubricant should be changed, or in presence of hydrolubricants too, their compatibility must be checked.  
Generally, greases can be mixed providing the present:

- Viscosity (not different in more than one viscosity class)
- Thicker
- Oil mineral base
- Consistency

Mineral oils with the same classification should not be different more than one VG class, whereas the synthetic oil lubricants must be always checked to value compatibility and miscibility.

In every case, the lubricant supplier's conditions, must be followed.



## 1. SERIE DI PRODOTTI PER GUIDE LINEARI ISB H

### • Tipi e serie

Tabella 1.1.1 Tipi e serie

SERIE SERIES	ALTEZZA ASSIEME ASSEMBLY HEIGHT	CARICHI LOAD	NON FLANGIATO NOT FLANGED	FLANGIATO FLANGE
R	Alto / Medio High / Mid	Carichi elevati <i>Heavy Load</i>	SNC / SNX	SNA
		Carichi super elevati <i>Super Heavy Load</i>	SLC / SLX	SLA
ER	Basso Low	Carichi elevati <i>Heavy Load</i>	RNC	RNA
		Carichi moderati <i>Small Load</i>	RSC	RSA

### • Classi di precisione

Tabella 1.1.2 Classi di precisione

### • Types & series

Table 1.1.1 Types &amp; Series

### • Accuracy classes

Table 1.1.2 Accuracy Classes

SERIE SERIES	ASSEMBLAGGIO / ASSEMBLY TYPE			INTERCAMBIABILE / INTERCHANGEABLE TYPE		
	NORMALE NORMAL (N)	ALTA HIGH (H)	PRECISA PRECISION (P)	NORMALE NORMAL (N)	ALTA HIGH (H)	PRECISA PRECISION (P)
R	●	●	●	●	●	—
ER	●	●	●	●	●	—

### • Classificazione del precarico

Tabella 1.1.3 Precarico

### • Classification of preload

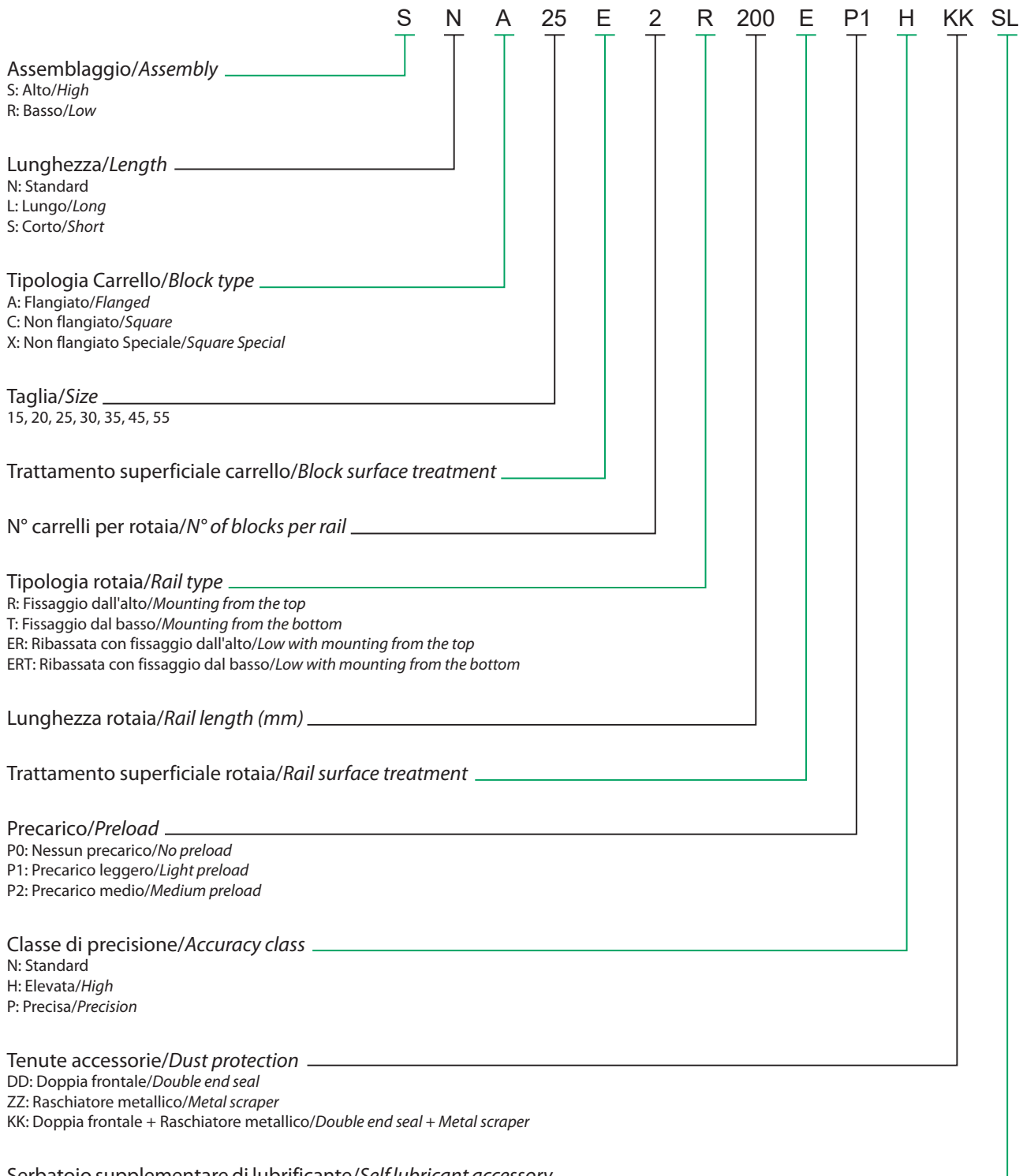
Table 1.1.3 Preload

SERIE SERIES	NON INTERCAMBIABILE / NON-INTERCHANGEABLE TYPE		INTERCAMBIABILE / INTERCHANGEABLE TYPE	
	PRECARICO LEGGERO LIGHT PRELOAD (P1)	PRECARICO MEDIO MEDIUM PRELOAD (P2)	PRECARICO LEGGERO LIGHT PRELOAD (P1)	PRECARICO MEDIO MEDIUM PRELOAD (P2)
R	—	●	●	—
ER	—	●	●	—

## 2. SIGLA D'ORDINE

## 2. ORDERING NUMBER

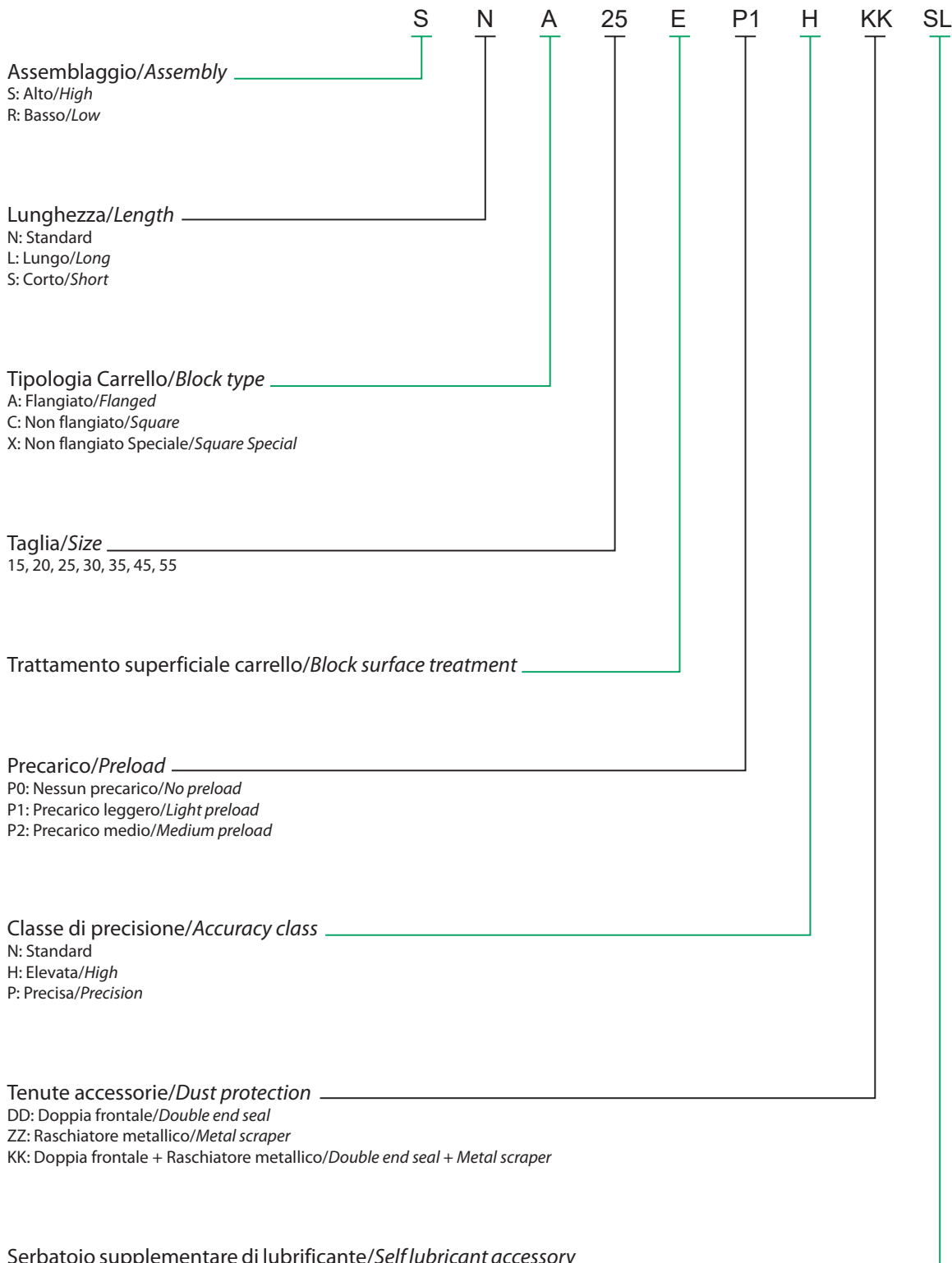
### SET COMPLETO / ASSEMBLY



## 2. SIGLA D'ORDINE

## 2. ORDERING NUMBER

### CARRELLO / BLOCK



## 2. SIGLA D'ORDINE

## 2. ORDERING NUMBER

### ROTAIA / RAIL

Tipologia rotaia/Rail type	R	25	200	E	H
R: Fissaggio dall'alto/Mounting from the top					
T: Fissaggio dal basso/Mounting from the bottom					
ER: Ribassata con fissaggio dall'alto/Low with mounting from the top					
ERT: Ribassata con fissaggio dal basso/Low with mounting from the bottom					
Taglia/Size	15, 20, 25, 30, 35, 45, 55				
Lunghezza rotaia/Rail length (mm)					
Trattamento superficiale carrello/Block surface treatment					
Classe di precisione/Accuracy class					

N: Standard

H: Elevata/High

P: Precisa/Precision

## Lunghezze Standard e Massima delle Rotaie

ISB-h può offrire al cliente rotaie in lunghezza standard o customizzata per soddisfare ogni sua richiesta. Nel caso di lunghezze secondo specifica del cliente si consiglia di tenere un valore di G (distanza dell'ultimo foro dall'estremità) non superiore a 0.5 F, per evitare anomalie nello scorrimento dopo il fissaggio della rotaia.

$$L = [n-1] \cdot F + 2 \cdot G$$

L : Lunghezza totale rotaia (mm)

n : Numero fori di fissaggio

F : Interasse fori (mm)

G : Distanza centro ultimo foro  
dall'estremità (mm)

$$L = [n-1] \cdot F + 2 \cdot G$$

L : Total Length of Rail (mm)

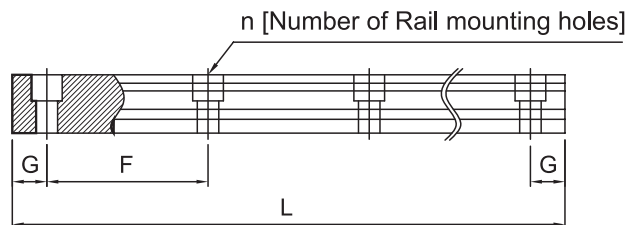
n : Number of Mounting Holes

F : Distance Between Any Two  
Holes (mm)

G : Distance from the Center of  
the Last Hole to the Edge (mm)

## The Standard Length and Maximum Length of Linear Rail

ISB-h offer our customer standard and customized rail length to meet the requirement for our customer. ISB-h suggests that when ordering customized rail length, to prevent unstable running performance after mounting, the end distance value G should be no greater than 1/2 F.



ARTICOLO / ITEM	R/T/ER/ERT15	R/T/ER/ERT20	R/T/ER/ERT25	R/T/ER/ERT30	R/T35	R/T45	R/T55
<b>F : Interasse F : Pitch</b>	60	60	60	80	80	105	120
<b>G: Distanza consigliata dell'estremità G : Suggested Distance to End</b>	20	20	20	20	20	22.5	30
<b>L: Lunghezza massima L : Max. Length</b>	4000	4000 / 6000*					

\* L: 6000 su richiesta / on demand

### Tipi di rotaia

Oltre al tipo standard con fissaggio dall'alto, è disponibile anche quello con fissaggio dal basso.

Tabella 2.1.1 Tipi di rotaia

### Rail types

Besides the standard top mounting type, the bottom mounting type is also available.

Table 2.1.1 Rail Types

FISSAGGIO DALL'ALTO / MOUNTING FROM TOP (R)	FISSAGGIO DAL BASSO / MOUNTING FROM BOTTOM (T)

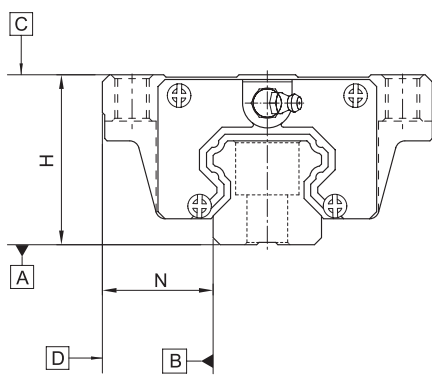


Table 2.1.2 Standard di precisione

Table 2.1.2 Accuracy Standards

Unit: mm

MODELLO / ITEM	R - 15, 20		
CLASSE DI PRECISIONE / ACCURACY CLASSES	Normale / Normal (N)	Alta / High (H)	Precisa / Precision (P)
Tolleranza sull'altezza H <i>Dimensional tolerance of height H</i>	±0.1	±0.03	±0.015
Tolleranza sulla larghezza N <i>Dimensional tolerance of width N</i>	±0.1	±0.03	±0.015
Variazione dell'altezza H <i>Variation of height H</i>	0.02	0.01	0.006
Variazione della larghezza N <i>Variation of width N</i>	0.02	0.01	0.006
Parallelismo della superficie del pattino C rispetto alla A <i>Running parallelism of block surface C to surface A</i>	Vedi tab. 2.1.5 / See Table 2.1.5		
Parallelismo della superficie del pattino D rispetto alla B <i>Running parallelism of block surface D to surface B</i>	Vedi tab. 2.1.5 / See Table 2.1.5		

Table 2.1.3 Standard di precisione

Table 2.1.3 Accuracy Standards

Unit: mm

MODELLO / ITEM	R - 25, 30, 35		
CLASSE DI PRECISIONE / ACCURACY CLASSES	Normale / Normal (N)	Alta / High (H)	Precisa / Precision (P)
Tolleranza sull'altezza H <i>Dimensional tolerance of height H</i>	±0.1	±0.04	±0.02
Tolleranza sulla larghezza N <i>Dimensional tolerance of width N</i>	±0.1	±0.04	±0.02
Variazione dell'altezza H <i>Variation of height H</i>	0.02	0.015	0.007
Variazione della larghezza N <i>Variation of width N</i>	0.03	0.015	0.007
Parallelismo della superficie del pattino C rispetto alla A <i>Running parallelism of block surface C to surface A</i>	Vedi tab. 2.1.5 / See Table 2.1.5		
Parallelismo della superficie del pattino D rispetto alla B <i>Running parallelism of block surface D to surface B</i>	Vedi tab. 2.1.5 / See Table 2.1.5		

Table 2.1.4 Standard di precisione

Table 2.1.4 Accuracy Standards

Unit: mm

MODELLO / ITEM	R - 45, 55		
CLASSE DI PRECISIONE / ACCURACY CLASSES	Normale / Normal (N)	Alta / High (H)	Precisa / Precision (P)
Tolleranza sull'altezza H <i>Dimensional tolerance of height H</i>	±0.1	±0.05	±0.025
Tolleranza sulla larghezza N <i>Dimensional tolerance of width N</i>	±0.1	±0.05	±0.025
Variazione dell'altezza H <i>Variation of height H</i>	0.03	0.015	0.007
Variazione della larghezza N <i>Variation of width N</i>	0.03	0.02	0.01
Parallelismo della superficie del pattino C rispetto alla A <i>Running parallelism of block surface C to surface A</i>	Vedi tab. 2.1.5 / See Table 2.1.5		
Parallelismo della superficie del pattino D rispetto alla B <i>Running parallelism of block surface D to surface B</i>	Vedi tab. 2.1.5 / See Table 2.1.5		

Tabella 2.1.5 Tolleranza di parallelismo

Table 2.1.5 Accuracy of Running Parallelism

LUNGHEZZA GUIDA RAIL LENGTH (mm)	TOLLERANZA / ACCURACY (μm)		
	N	H	P
~ 100	12	7	3
100 ~ 200	14	9	4
200 ~ 300	15	10	5
300 ~ 500	17	12	6
500 ~ 700	20	13	7
700 ~ 900	22	15	8
900 ~ 1,100	24	16	9
1,100 ~ 1,500	26	18	11
1,500 ~ 1,900	28	20	13
1,900 ~ 2,500	31	22	15
2,500 ~ 3,100	33	25	18
3,100 ~ 3,600	36	27	20
3,600 ~ 4,000	37	28	21

**Classi di precarico**

ISB offre tre classi di precarico standard per varie applicazioni e condizioni.

**Preload classes**

ISB offers three classes of standard preload for various applications and conditions.

Tabella 2.1.6 Precarico

Table 2.1.6 Preload Classes

CLASSE / CLASS	CODICE CODE	PRECARICO PRELOAD	CONDIZIONI / CONDITION	ESEMPI APPLICATIVI / APPLICATION
Precarico leggero <i>Light Preload</i>	P0	0~ 0.02C	Precisione modesta, scorrimento libero <i>Low precision, loose sliding</i>	Spostamenti manuali, battute di riferimento, cambi formato. <i>Manual movements, format changeover, end position settings</i>
Precarico medio <i>Medium Preload</i>	P1	0.05C~0.07C	Direzione certa del carico, urti leggeri, precisione media <i>Certain load direction, low impact, medium precision required</i>	Movimentazione, confezionamento, tavole X-Y di uso generale, saldatrici, macchine operatrici industriali. <i>Transportation devices, packaging machines, X-Y axis for general industrial machines, welding and industrial machines</i>
Precarico elevato <i>High Preload</i>	P2	>0.10C	Precisione elevata <i>High precision required</i>	Centri di lavoro, torni CN, tavole X-Y precise, segatrici, macchine per elettroerosione. <i>Machining centers, machines, EDM, CN lathes, Precision X-Y tables, Sawing machines</i>

### 3. LUBRIFICAZIONE

#### • Ingrassatori

	NO. 34320001 M6x1 H20 H25 H30 H35	NO. 34320003 PT1/8 H45 H55
NO. 34310002 M4x0.7P H15	NO. 34310003 (OPTION) M6x1 H20 H25 H30 H35	NO. 3431000B (OPTION) PT 1/8 H45 H55

### 4.1 POSIZIONI DI MONTAGGIO

La posizione standard per l'ingrassatore si trova ad entrambe le estremità del carrello, ma esso può essere montato anche su ciascuno dei lati della testata. In quest'ultimo caso si consiglia di non montarlo sul lato di riferimento, in tale eventualità contattare il servizio tecnico ISB. È possibile lubrificare anche ad olio tramite un raccordo per la relativa tubazione.

### 4.1 MOUNTING LOCATION

The standard location of the grease fitting is at both ends of the block, but the nipple can be mounted at each side of block. For lateral installation, we recommend that the nipple be mounted at the non-reference side, otherwise please contact us. It is possible to perform lubrication by using the oil-piping joint.

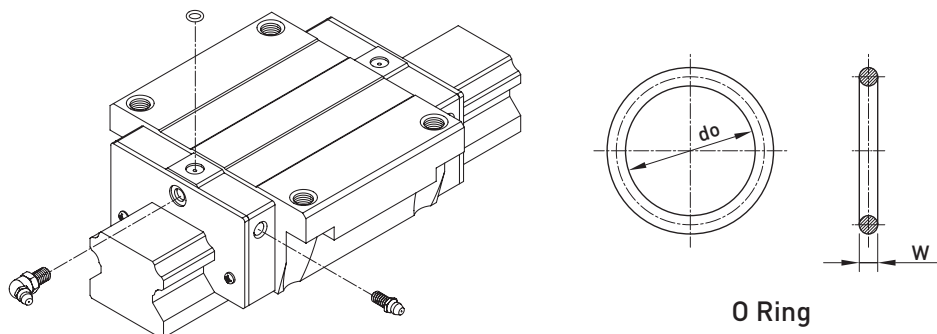
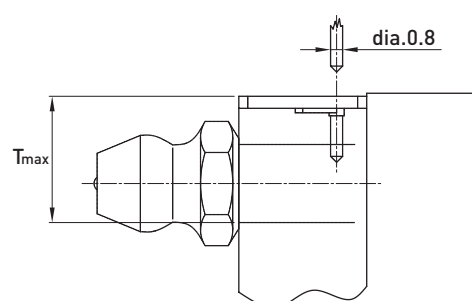


Tabella 4.1.1 Tipo di O-ring e profondità massima di foratura

Table 4.1.1 O-Ring size and max. permissible depth for piercing

TAGLIA SIZE	O-RING		Foro superiore di lubrificazione-Max: profondità di foratura <i>Lube hole at top:</i> <i>max. permissible depth</i> <i>for piercing</i>
	do (mm)	W (mm)	T <sub>max</sub> (mm)
R15	2.5±0.15	1.5±0.15	3.75
R20	4.5±0.15	1.5±0.15	5.7
R25	4.5±0.15	1.5±0.15	5.8
R30	4.5±0.15	1.5±0.15	6.3
R35	4.5±0.15	1.5±0.15	8.8
R45	4.5±0.15	1.5±0.15	8.2
R55	4.5±0.15	1.5±0.15	11.8



## 4.2 SERBATOIO

### Serbatoio supplementare di lubrificante

Contribuisce alla pulizia della rotaia e delle piste di rotolamento, agevolando la funzione del lubrificante già presente.

## 4.2 OIL TANK

### *Self lubricant accessory*

*It helps to keep rail and raceways cleaned up, easing the lubricant already provided.*

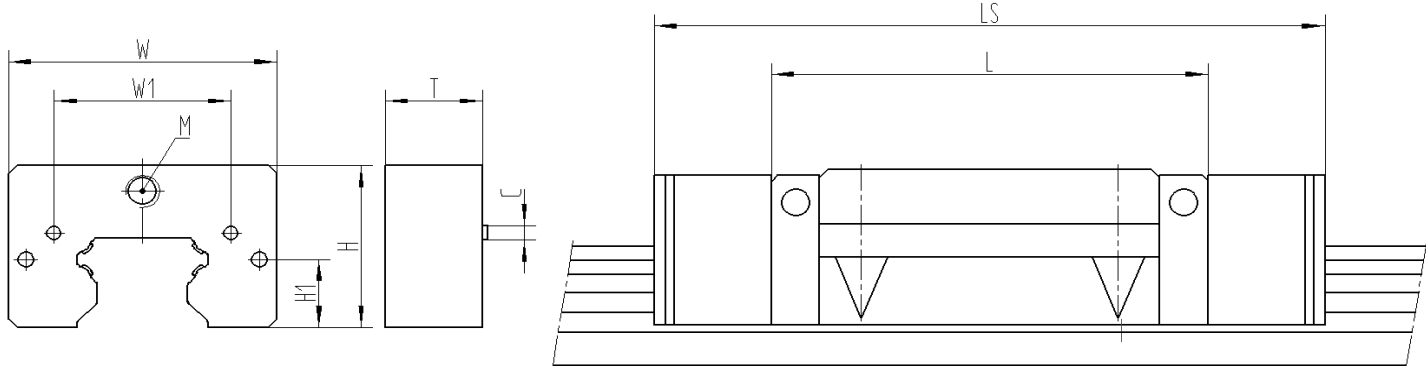
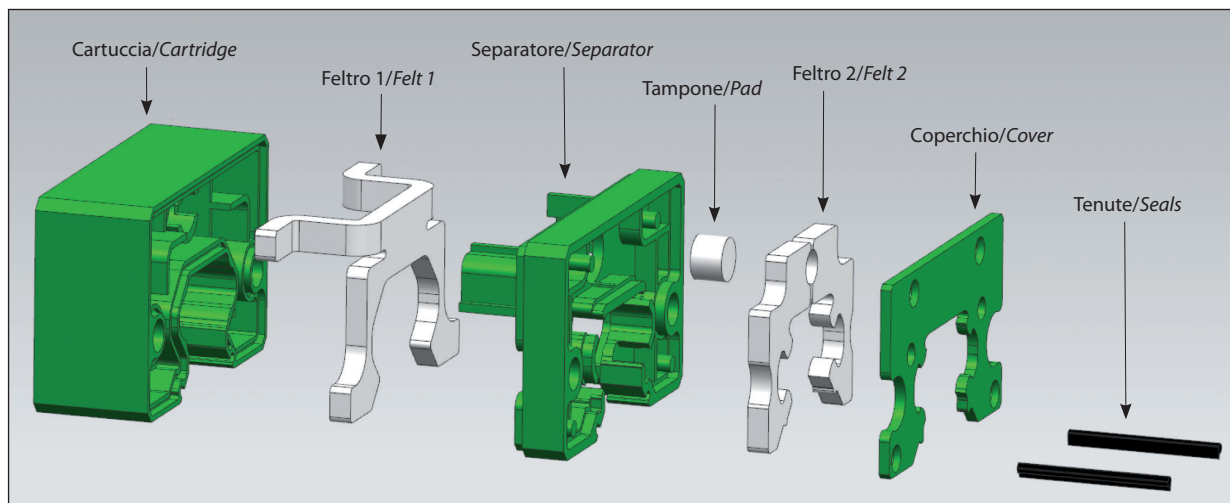


Tabella 4.2.1

Table 4.2.1

TAGLIA Size	Lunghezza Length	Serbatoio / Oil Tank (mm)							Blocco / Block (mm)	
		H	W	T	M	H1	W1	C	L	LS
R15	N	19,5	32,6	15	M4x0,7	11,10	16,39	2	61,4	91,4
R20	N	24,2	43	16	M6x1	13,32	30	2,5	77,5	109,5
	L								92,2	124,2
R25	N	29,5	47	17	M6x1	17,37	31	2,5	84	118
	L								104,6	138,6
R30	N	35,45	58	17	M6x1	21,44	37	2,5	97,4	131,4
	L								120,4	154,4
R35	N	38,9	68,8	20	M6x1	23,05	42	2,5	112,4	152,4
	L								138,2	178,2
R45	N	49	82,3	20	PT 1/8	28,85	53,75	3,5	139,4	179,4
	L								171,2	211,2

Unit: mm

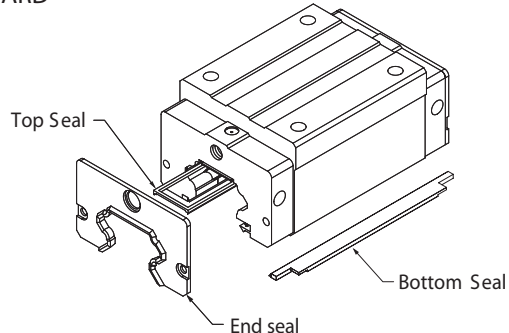


## 5. TENUTE OPZIONALI

### Codici degli accessori

Se sono necessari i seguenti accessori, aggiungere il codice dopo la sigla del modello.

#### STANDARD



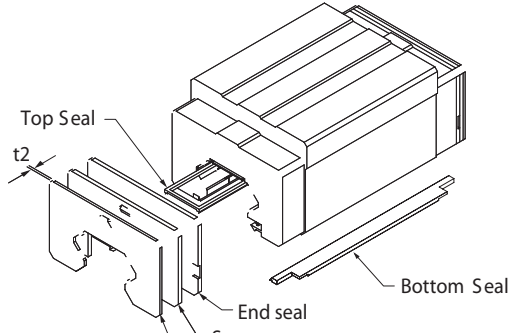
Tenuta frontale a doppio labbro, tenute longitudinali.  
Standard protection (End seal + Side seals)

## 5. DUST PROOF ACCESSORIES

### Codes of standard dust proof accessories

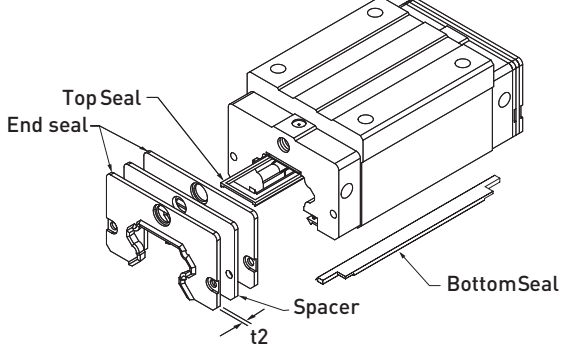
If the following accessories are needed, please add the code after the model number.

#### ZZ



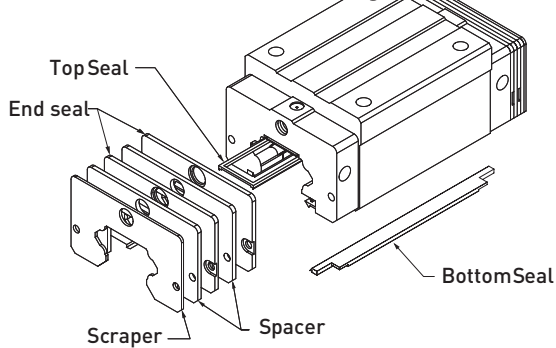
Tenuta frontale a doppio labbro, tenute longitudinali, raschiatore metallico.  
End seal + Side seals + Scraper

#### DD



Doppia tenuta frontale a doppio labbro, tenute longitudinali.  
Double seals + Side seals

#### KK



Doppia tenuta frontale a doppio labbro, tenute longitudinali, raschiatore metallico.  
Double Seals + Side Seals + Scraper

### Tenuta frontale a doppio labbro

Tenute longitudinali inferiore e superiore (versione standard).  
Evitano l'introduzione di trucioli e polvere nel carrello.

### Doppia tenuta frontale a doppio labbro

Migliora l'effetto detergente del carrello durante lo scorrimento sulla rotaia.

### Raschiatore metallico

Tiene lontani trucioli surriscaldati ed altri corpi estranei di maggiori dimensioni.

### End seal and bottom seal

To prevent life reduction caused by iron chips or dust entering the block.

### Double seals

Enhances the wiping effect, foreign matter can be completely wiped off.

### Scraper

The scraper removes high-temperature iron chips and larger foreign objects.

## 6. TOLLERANZE DELLE SUPERFICI DI MONTAGGIO

### Tolleranze delle superfici di montaggio.

Il particolare tipo di contatto ad arco di cerchio delle sfere sulle piste consente alle guide lineari tipo R di compensare lievi imprecisioni nelle superfici o nel montaggio, mantenendo uno scorrimento fluido e regolare.

Tolleranza di parallelismo tra le superfici di riferimento (P)

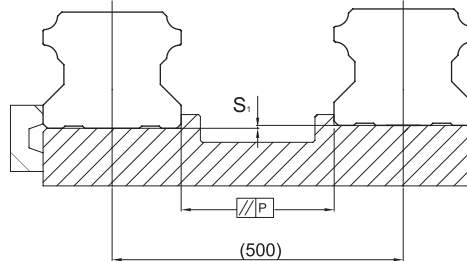


Tabella 6.1.1 Tolleranza di parallelismo (P).

## 6. THE ACCURACY TOLERANCE OF MOUNTING SURFACE

### The accuracy tolerance of rail-mounting surface

Because of the Circular-arc contact design, the R linear guideway can compensate for some surface-error on installation and still maintain smooth linear motion.

The parallelism tolerance of reference surface (P).

Table 6.1.1 Max. Parallelism Tolerance (P)

unit: µm

TAGLIA SIZE	PRECARICO / PRELOAD CLASSES	
	P0/P1	P2
R15	25	18
R20	25	20
R25	30	22
R30	40	30
R35	50	35
R45	60	40
R55	70	50

### Tolleranza sull'altezza per le superfici di riferimento (S1)

Tabella 6.1.2 Tolleranza sull'altezza (S1)

### The accuracy tolerance of reference surface height (S1)

Table 6.1.2 Max. Tolerance of Reference Surface Height (S1)

unit: µm

TAGLIA SIZE	PRECARICO / PRELOAD CLASSES	
	P0/P1	P2
R15	130	85
R20	130	85
R25	130	85
R30	170	110
R35	210	150
R45	250	170
R55	300	210

## 7. AVVERTENZE PER IL MONTAGGIO

### Altezza e raccordi degli spallamenti

Altezze e raccordi non adeguati nelle superfici di montaggio possono influire negativamente sulla precisione di scorrimento e sulla interferenza con le parti smussate di rotaie o carrelli.

Attenendosi alle quote consigliate i suddetti inconvenienti verranno evitati.

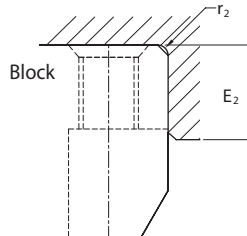
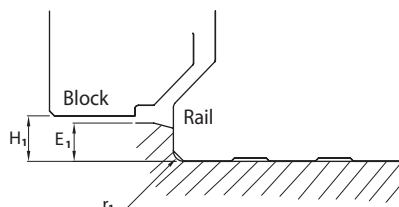


Tabella 7.1.1 Altezza degli spallamenti e raccordi.

Table 7.1.1 Shoulder Heights and Fillets

TAGLIA SIZE	RAGGIO MAX. DI RACCORDO MAX. RADIUS OF FILLETS $r_1$ (mm)	RAGGIO MAX. DI RACCORDO MAX. RADIUS OF FILLETS $r_2$ (mm)	ALTEZZA SPALLAMENTO ROTAIA SHOULDER HEIGHT OF THE RAIL $E_1$ (mm)	ALTEZZA SPALLAMENTO CARRELLO SHOULDER HEIGHT OF THE BLOCK $E_2$ (mm)	LUCE INFERIORE DEL CARRELLO CLEARANCE UNDER BLOCK $H_1$ (mm)
R15	0.5	0.5	3	4	4.3
R20	0.5	0.5	3.5	5	4.6
R25	1.0	1	5	5	5.5
R30	1.0	1	5	5	6
R35	1.0	1	6	6	7.5
R45	1.0	1	8	8	9.5
R55	1.5	1.5	10	10	13

### Coppia di serraggio delle viti di fissaggio

Un inadeguato serraggio delle viti influenza seriamente sulla precisione di montaggio della guida lineare. Di seguito sono riportate le coppie consigliate per ciascuna taglia della vite.

Tabella 7.1.2 Coppia di serraggio

### Tightening Torque of Bolts for Installation

Improper tightening of bolts will seriously influence the accuracy of Linear Guideway installation. The following tightening torques for different sizes of bolts are recommended.

Table 7.1.2 Mounting Torque

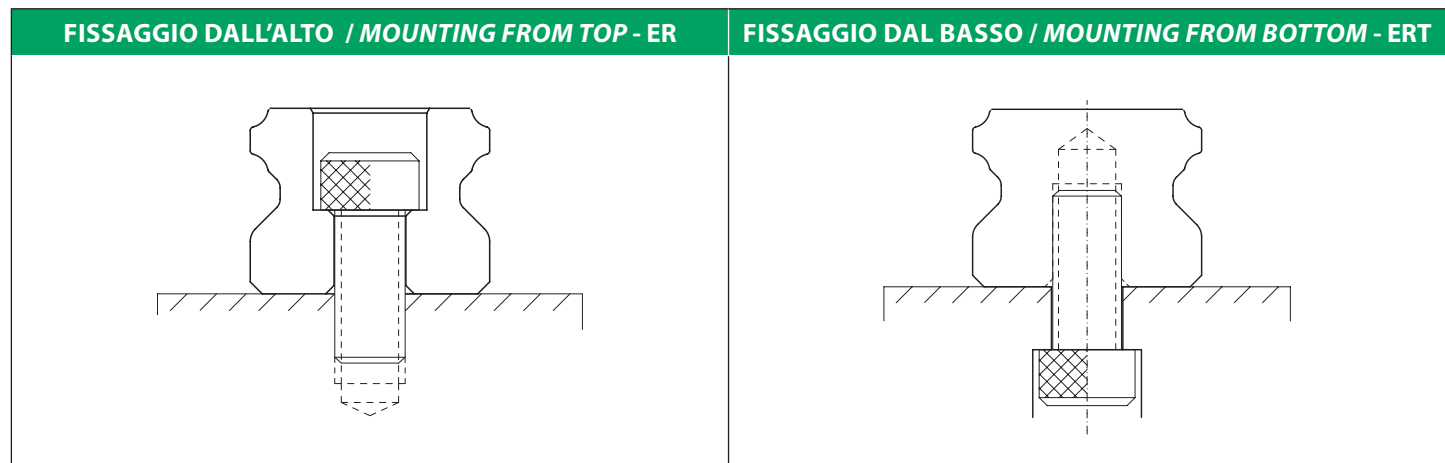
TAGLIA SIZE	VITE BOLT SIZE	COPPIA / TORQUE N·cm (kgf·cm)		
		ACCIAIO / IRON	GHISA / CASTING	ALLUMINIO / ALUMINUM
R15	M4x0.7Px16L	392 (40)	274 (28)	206 (21)
R20	M5x0.8Px16L	883 (90)	588 (60)	441 (45)
R25	M6x1Px20L	1373 (140)	921 (94)	686 (70)
R30	M8x1.25Px25L	3041 (310)	2010 (205)	1470 (150)
R35	M8x1.25Px25L	3041 (310)	2010 (205)	1470 (150)
R45	M12x1.75Px35L	11772 (1200)	7840 (800)	5880 (600)
R55	M14x2Px45L	15696 (1600)	10500 (1100)	7840 (800)

## 8. TIPI DI ROTAIA

### Tipi di rotaia

Oltre al tipo di montaggio superiore standard, ISB offre anche binari di montaggio dal basso.

Table 8.1.1 Tipi di rotaia



## 9. PRECISIONE

La precisione delle guide può essere classificata secondo le classi normale (N), alta (H), precisa (P). La classe di precisione sarà da individuare per ciascun caso facendo riferimento a quella richiesta secondo le specifiche di progetto relative alla macchina da costruire.

## 8. RAIL TYPES

### Rail types

Besides the standard top mounting type, ISB also offers bottom mounting type rails.

Table 8.1.1 Rail Types

## 9. ACCURACY

The accuracy of the E series can be classified into 3 classes: normal(N), high(H), precision(P). Choose the class by referencing the accuracy of selected equipment.

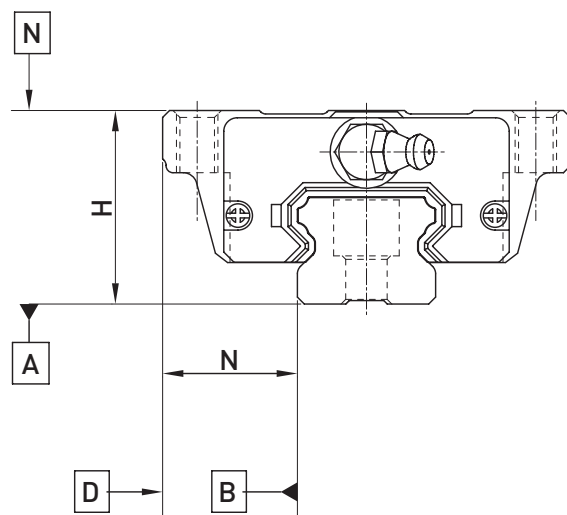


Tabella 9.1.1 Standard di precisione

Table 9.1.1 Accuracy Standards

MODELLO / ITEM	ER - 15, 20		
CLASSE DI PRECISIONE / ACCURACY CLASSES	Normale / Normal (N)	Alta / High (H)	Precisa / Precision (P)
Tolleranza sull'altezza H <i>Dimensional tolerance of height H</i>	± 0.1	± 0.03	± 0.015
Tolleranza sulla larghezza N <i>Dimensional tolerance of width N</i>	± 0.1	± 0.03	± 0.015
Variazione dell'altezza H <i>Variation of height H</i>	0.02	0.01	0.006
Variazione della larghezza N <i>Variation of width N</i>	0.02	0.01	0.006
Parallelismo della superficie del pattino C rispetto alla A <i>Running parallelism of block surface C to surface A</i>	Vedi tab. 9.1.3 / See Table 9.1.3		
Parallelismo della superficie del pattino D rispetto alla B <i>Running parallelism of block surface D to surface B</i>	Vedi tab. 9.1.3 / See Table 9.1.3		

Tabella 9.1.2 Standard di precisione

Table 9.1.2 Accuracy Standards

MODELLO / ITEM	ER - 25, 30		
CLASSE DI PRECISIONE / ACCURACY CLASSES	Normale / Normal (N)	Alta / High (H)	Precisa / Precision (P)
Tolleranza sull'altezza H <i>Dimensional tolerance of height H</i>	± 0.1	± 0.04	± 0.02
Tolleranza sulla larghezza N <i>Dimensional tolerance of width N</i>	± 0.1	± 0.04	± 0.02
Variazione dell'altezza H <i>Variation of height H</i>	0.02	0.015	0.007
Variazione della larghezza N <i>Variation of width N</i>	0.03	0.015	0.007
Parallelismo della superficie del pattino C rispetto alla A <i>Running parallelism of block surface C to surface A</i>	Vedi tab. 9.1.3 / See Table 9.1.3		
Parallelismo della superficie del pattino D rispetto alla B <i>Running parallelism of block surface D to surface B</i>	Vedi tab. 9.1.3 / See Table 9.1.3		

Tabella 9.1.3 Precisione dell'esecuzione del parallelismo

Table 9.1.3 Accuracy of Running Parallelism

LUNGHEZZA ROTAIA RAIL LENGTH (mm)	PRECISIONE / ACCURACY (μm)		
	N	H	P
~ 100	12	7	3
100 ~ 200	14	9	4
200 ~ 300	15	10	5
300 ~ 500	17	12	6
500 ~ 700	20	13	7
700 ~ 900	22	15	8
900 ~ 1,100	24	16	9
1,100 ~ 1,500	26	18	11
1,500 ~ 1,900	28	20	13
1,900 ~ 2,500	31	22	15
2,500 ~ 3,100	33	25	18
3,100 ~ 3,600	36	27	20
3,600 ~ 4,000	37	28	21

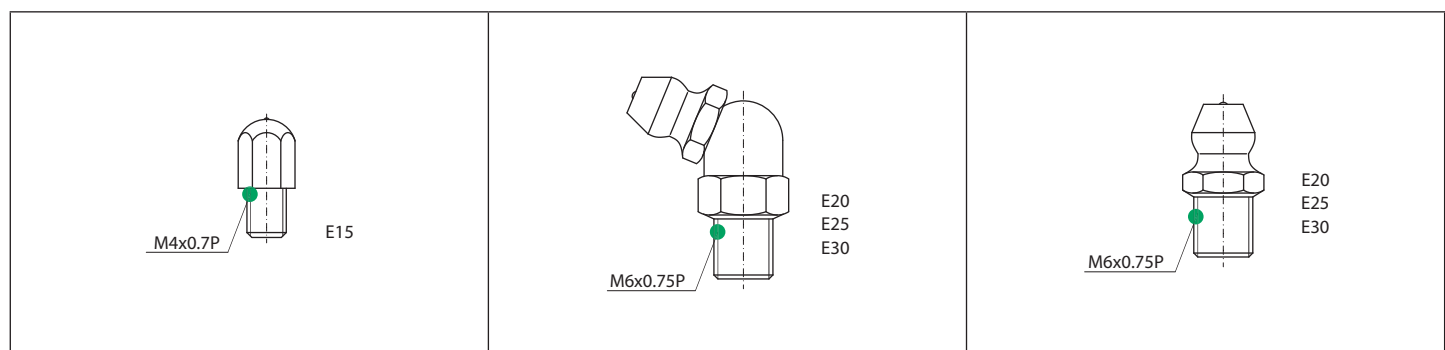
Tabella 9.1.4 Precarico

Table 9.1.4 Preload Classes

CLASSE / CLASS	CODICE CODE	PRECARICO PRELOAD	CONDIZIONI / CONDITION
-	P0	0~0.02C	Precisione modesta, scorrimento libero <i>Low precision, smooth running</i>
<b>PRECARICO LEGGERO LIGHT PRELOAD</b>	P1	0.03C~0.05C	Direzione certa del carico, urti leggeri, precisione media <i>Certain load direction, small impacts, medium precision</i>
<b>PRECARICO MEDIO MEDIUM PRELOAD</b>	P2	0.06C~ 0.08C	Precisione elevata <i>High precision</i>

## 10. LUBRIFICAZIONE

### • Ingrassatori



## 10. LUBRICATION

### • Grease nipple

## 11. TOLLERANZE DELLE SUPERFICI DI MONTAGGIO

Il particolare tipo di contatto ad arco di cerchio delle sfere sulle piste consente alle guide lineari tipo ER di compensare lievi imprecisioni nelle superfici o nel montaggio, mantenendo uno scorrimento fluido e regolare. Con superfici di montaggio secondo le tolleranze richieste si ottengono adeguate precisioni e rigidità - per ottenere la compensazione di errori e la massima facilità di scorrimento, ISB può offrire guide con un piccolo gioco.

## 11. MOUNTING SURFACE ACCURACY TOLERANCE

*Because of the circular-arc contact design, the ER linear guideway can withstand surface-error installation and deliver smooth linear motion. When the mounting surface meets the accuracy requirements of the installation, the high accuracy and rigidity of the guideway will be obtained without any difficulty. For faster installation and smoother movement, ISB offers a preload with normal clearance because of its ability to absorb higher deviations in mounting surface inaccuracies.*

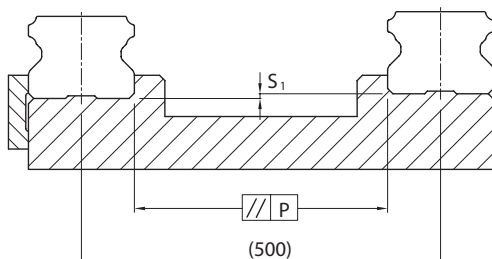


Tabella 11.1.1 Tolleranza di parallelismo (P)

Table 11.1.1 Max. Parallelism Tolerance (P)

unit:  $\mu\text{m}$

TAGLIA SIZE	PRECARICO / PRELOAD CLASSES	
	P0/P1	P2
ER15	25	18
ER20	25	20
ER25	30	22
ER30	40	30

Tabella 11.1.2 Tolleranza sull'altezza (S)

Table 11.1.2 Max. Tolerance of Reference Surface Height (S)

unit:  $\mu\text{m}$

TAGLIA SIZE	PRECARICO / PRELOAD CLASSES	
	P0/P1	P2
ER15	130	85
ER20	130	85
ER25	130	85
ER30	170	110

## 12. AVVERTENZE PER IL MONTAGGIO

### Altezza e raccordi degli spallamenti

Altezze e raccordi non adeguati nelle superfici di montaggio possono influire negativamente sulla precisione di scorrimento e sulla interferenza con le parti smussate di rotaie o carrelli.

Attenendosi alle quote consigliate i suddetti inconvenienti verranno evitati.

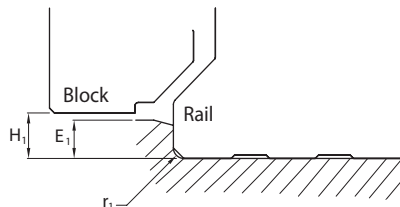


Tabella 12.1.1 Altezza degli spallamenti e raccordi

## 12. CAUTIONS FOR INSTALLATION

### Shoulder heights and chamfers

Improper shoulder heights and chamfers of mounting surfaces will cause deviations in accuracy and rail or block interference with the chamfered part.

When recommended shoulder heights and chamfers are used, problems with installation accuracy should be eliminated.

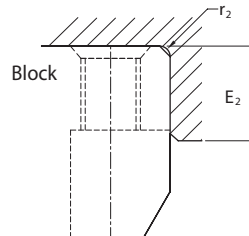


Table 12.1.1 Shoulder Heights and Chamfers

unit:  $\mu\text{m}$

TAGLIA SIZE	RAGGIO MAX. DI RACCORDO <i>MAX. RADIUS OF FILLETS</i> $r_1$ (mm)	RAGGIO MAX. DI RACCORDO <i>MAX. RADIUS OF FILLETS</i> $r_2$ (mm)	ALTEZZA SPALLAMENTO ROTAIA <i>SHOULDER HEIGHT OF THE RAIL</i> $E_1$ (mm)	ALTEZZA SPALLAMENTO CARRELLO <i>SHOULDER HEIGHT OF THE BLOCK</i> $E_2$ (mm)	LUCE INFERIORE DEL CARRELLO <i>CLEARANCE UNDER BLOCK</i> $H_1$ (mm)
<b>ER15</b>	0.5	0.5	2.7	5.0	4.5
<b>ER20</b>	0.5	0.5	5.0	7.0	6.0
<b>ER25</b>	1.0	1.0	5.0	7.5	7.0
<b>ER30</b>	1.0	1.0	7.0	7.0	10.0

### Coppia di serraggio delle viti di fissaggio

Un inadeguato serraggio delle viti influenza seriamente sulla precisione di montaggio della guida lineare. Di seguito sono riportate le coppie consigliate per ciascuna taglia della vite.

Tabella 12.1.2 Coppia di serraggio

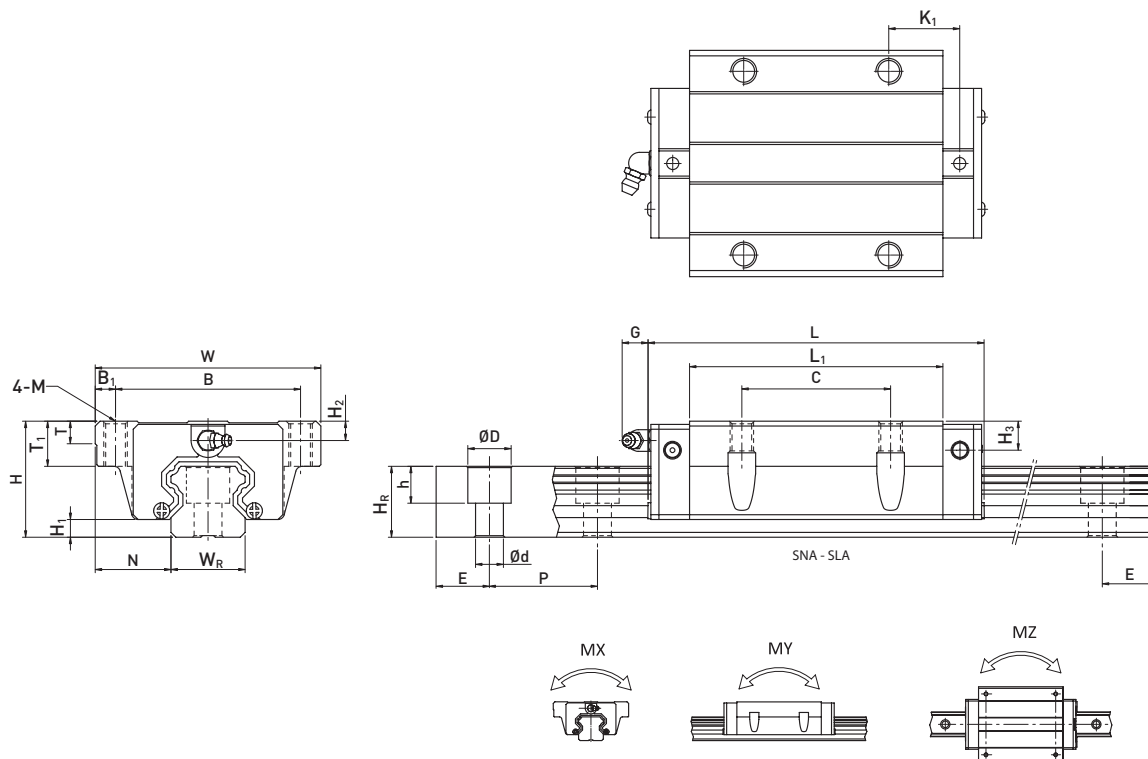
### Tightening Torque of Bolts for Installation

Improperly tightened mounting bolts will seriously affect the accuracy of linear guide installations. The following tightening torques for different sizes of bolts are recommended.

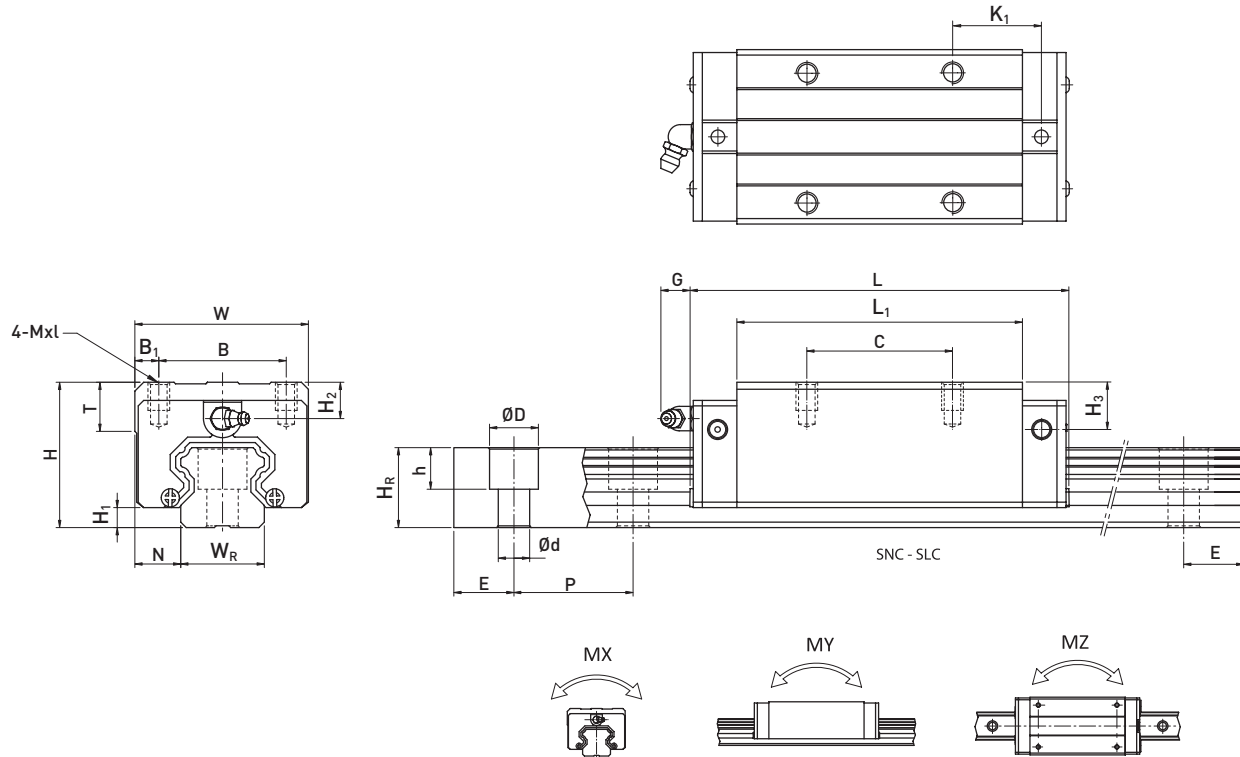
Table 12.1.2 Tightening Torque

TAGLIA SIZE	VITE / BOLT SIZE	COPPIA / TORQUE N·cm(kgf·cm)
		ACCIAIO / IRON
<b>ER15</b>	M3×0.5P×16L	186 (19)
<b>ER20</b>	M5×0.8P×16L	883 (90)
<b>ER25</b>	M6×1P×20L	1373 (140)
<b>ER30</b>	M6×1P×25L	1373 (140)

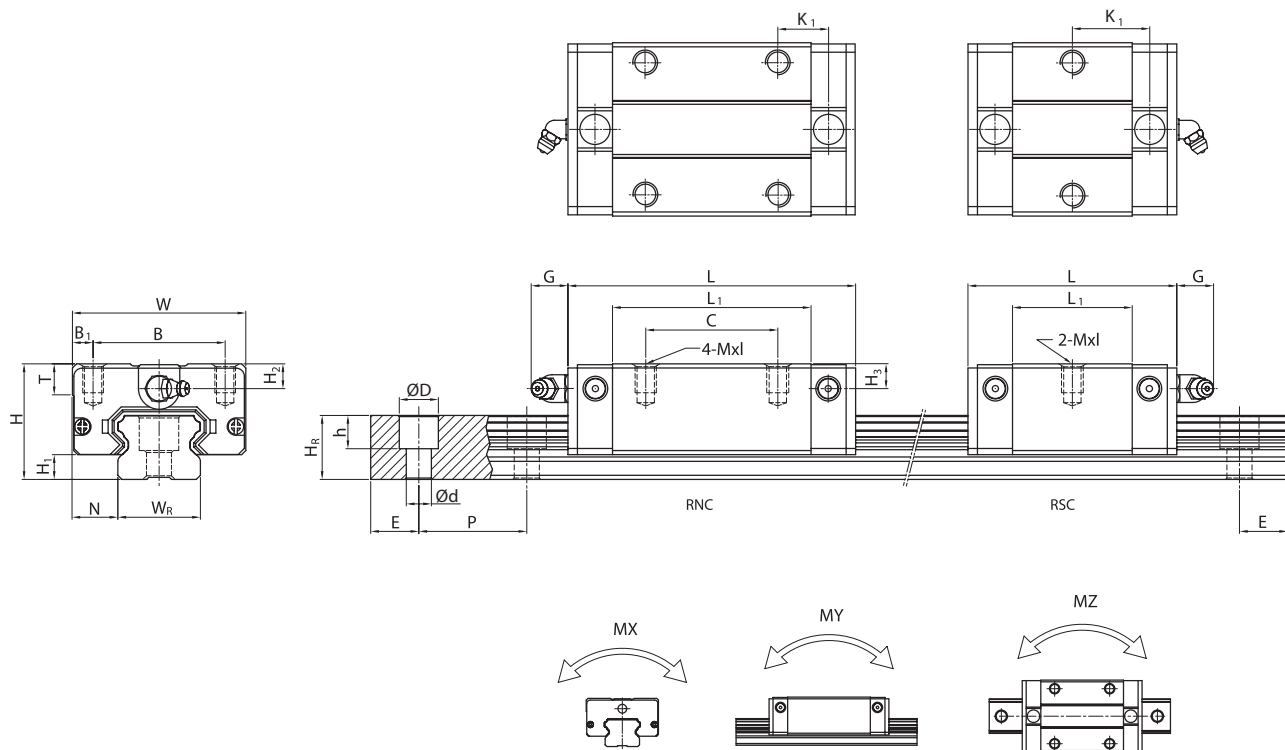
## SNA-SLA



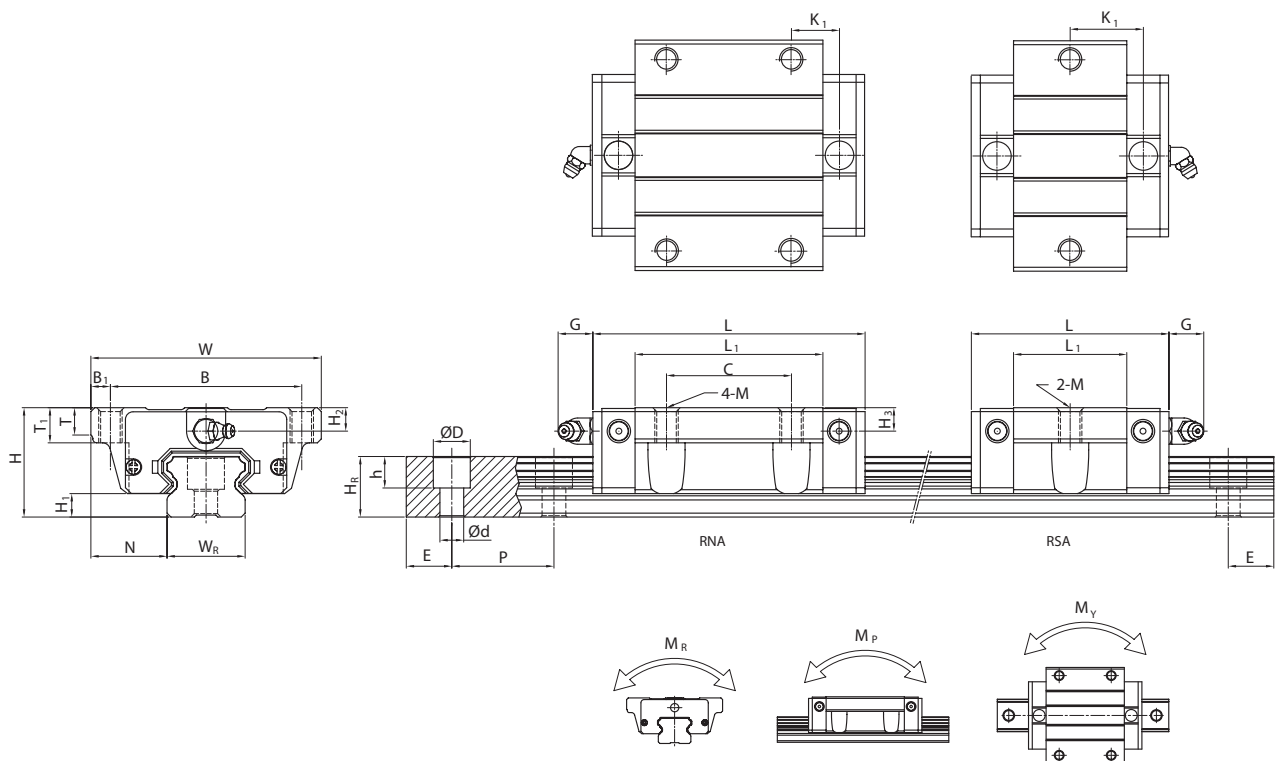
Carrello Model No.	Dimensioni assemblato Dimensions of Assembly (mm)			Dimensioni carrello Dimensions of Block (mm)												Dimensioni rotaia Dimensions of Rail (mm)						Viti di fissaggio Mounting Bolt for Rail	Capacità di carico dinamica Basic Dynamic Load Rating	Capacità di carico statica Basic Static Load Rating	Momento statico Static Rated Moment			Peso Weight				
	H	H <sub>1</sub>	N	W	B	B <sub>1</sub>	C	L <sub>1</sub>	L	K <sub>1</sub>	G	M	T	T <sub>1</sub>	H <sub>2</sub>	H <sub>3</sub>	W <sub>R</sub>	H <sub>R</sub>	D	h	d	P	E	(mm)	C <sub>0</sub> (kN)	MX KN-m	MY KN-m	MZ KN-m	Carrello Block kg	Rotaia Rail kg/m		
SNA 15	24	4.3	16	47	38	4.5	30	39.4	61.4	8	5.3	M5	6	8.9	3.95	3.7	15	15	7.5	5.3	4.5	60	20	M4x16	11.38	16.97	0.12	0.10	0.10	0.17	1.45	
SNA 20	30	4.6	21.5	63	53	5	40	50.5	77.5	10.25															17.75	27.76	0.27	0.20	0.20	0.40		
SLA 20	30	4.6	21.5	63	53	5	40	65.2	92.2	17.6															21.18	35.9	0.35	0.35	0.35	0.52	2.21	
SNA 25								58	84	10.7															26.48	36.49	0.42	0.33	0.33	0.59		
SLA 25	36	5.5	23.5	70	57	6.5	45				12	M8	8	14	6	5	23	22	11	9	7	60	20	M6x20	32.75	49.44	0.56	0.57	0.57	0.80	3.21	
SNA 30								70	97.4	14.25															38.74	52.19	0.66	0.53	0.53	1.09		
SLA 30	42	6	31	90	72	9	52				12	M10	8.5	16	6.5	10.8	28	26	14	12	9	80	20	M8x25	47.27	69.16	0.88	0.92	0.92	1.44	4.47	
SNA 35								80	112.4	14.6															M8x25	49.52	69.16	1.16	0.81	0.81	1.56	6.30
SLA 35	48	7.5	33	100	82	9	62				12	M10	10.1	18	9	12.6	34	29	14	12	9	80	20	M8x25	60.21	136.31	2.29	2.08	2.08	2.06	6.30	
SNA 45								97	139.4	13															M12x35	77.57	102.71	1.98	1.55	1.55	2.79	10.41
SLA 45	60	9.5	37.5	120	100	10	80				12.9	M12	15.1	22	8.5	20.5	45	38	20	17	14	105	22.5	M12x35	94.54	207.12	4.00	4.07	4.07	3.69	10.41	
SNA 55								117.7	166.7	17.35															153.2	211.23	3.69	2.64	2.64	4.52		
SLA 55	70	13	43.5	140	116	12	95				12.9	M14	17.5	26.5	12	19	53	44	23	20	16	120	30	M14x45	184.9	276.23	4.88	4.57	4.57	5.96	15.08	

**SNC-SLC**


Carrello Model No.	Dimensioni assemblato <i>Dimensions of Assembly</i> (mm)		Dimensioni carrello <i>Dimensions of Block</i> (mm)												Dimensioni rotaia <i>Dimensions of Rail</i> (mm)						Viti di fissaggio <i>Bolt for Rail</i>	Capacità di carico dinamica <i>Basic Dynamic Load Rating</i>	Capacità di carico statica <i>Basic Static Load Rating</i>	Momento statico <i>Static Rated Moment</i>			Peso <i>Weight</i>			
	H	H <sub>1</sub>	N	W	B	B <sub>1</sub>	C	L <sub>1</sub>	L	K <sub>1</sub>	G	Mxl	T	H <sub>2</sub>	H <sub>3</sub>	W <sub>R</sub>	H <sub>R</sub>	D	h	d	P	E	(mm)	C(kN)	C <sub>0</sub> (kN)	MX KN-m	MY KN-m	MZ KN-m	Carrello Block kg	Rotaia Rail kg/m
<b>SNC 15</b>	28	4.3	9.5	34	26	4	26	39.4	61.4	10	5.3	M4x5	6	7.95	7.7	15	15	7.5	5.3	4.5	60	20	M4x16	11.38	16.97	0.12	0.10	0.10	0.18	1.45
<b>SNC 20</b>	30	4.6	12	44	32	6	36	50.5	77.5	12.25													17.75	27.76	0.27	0.20	0.20	0.38	2.21	
<b>SLC 20</b>							50	65.2	92.2	12.6													M5x16	21.18	35.9	0.35	0.35	0.35	0.39	
<b>SNC 25</b>	40	5.5	12.5	48	35	6.5	35	58	84	15.7													26.48	36.49	0.42	0.33	0.33	0.51	3.21	
<b>SLC 25</b>							50	78.6	104.6	19.6													M6x20	32.75	49.44	0.56	0.57	0.57	0.69	
<b>SNC 30</b>	45	6	16	60	40	10	40	70	97.4	20.25													38.74	52.19	0.66	0.53	0.53	0.88	4.47	
<b>SLC 30</b>							60	93	120.4	21.75													M8x25	47.27	69.16	0.88	0.92	0.92	1.16	
<b>SNC 35</b>	55	7.5	18	70	50	10	50	80	112.4	20.6													49.52	69.16	1.16	0.81	0.81	1.92	6.30	
<b>SLC 35</b>							72	105.8	138.2	22.5													M8x25	60.21	136.31	2.29	2.08	2.08	2.06	
<b>SNC 45</b>	70	9.5	20.5	86	60	13	60	97	139.4	23													77.57	102.71	1.98	1.55	1.55	2.73	10.41	
<b>SLC 45</b>							80	128.8	171.2	28.9													M12x35	94.54	207.12	4.00	4.07	4.07	3.61	
<b>SNC 55</b>	80	13	23.5	100	75	12.5	75	117.7	166.7	27.35													153.2	211.23	3.69	2.64	2.64	4.17	15.08	
<b>SLC 55</b>							95	155.8	204.8	36.4													M14x45	184.9	276.23	4.88	4.57	4.57	5.49	

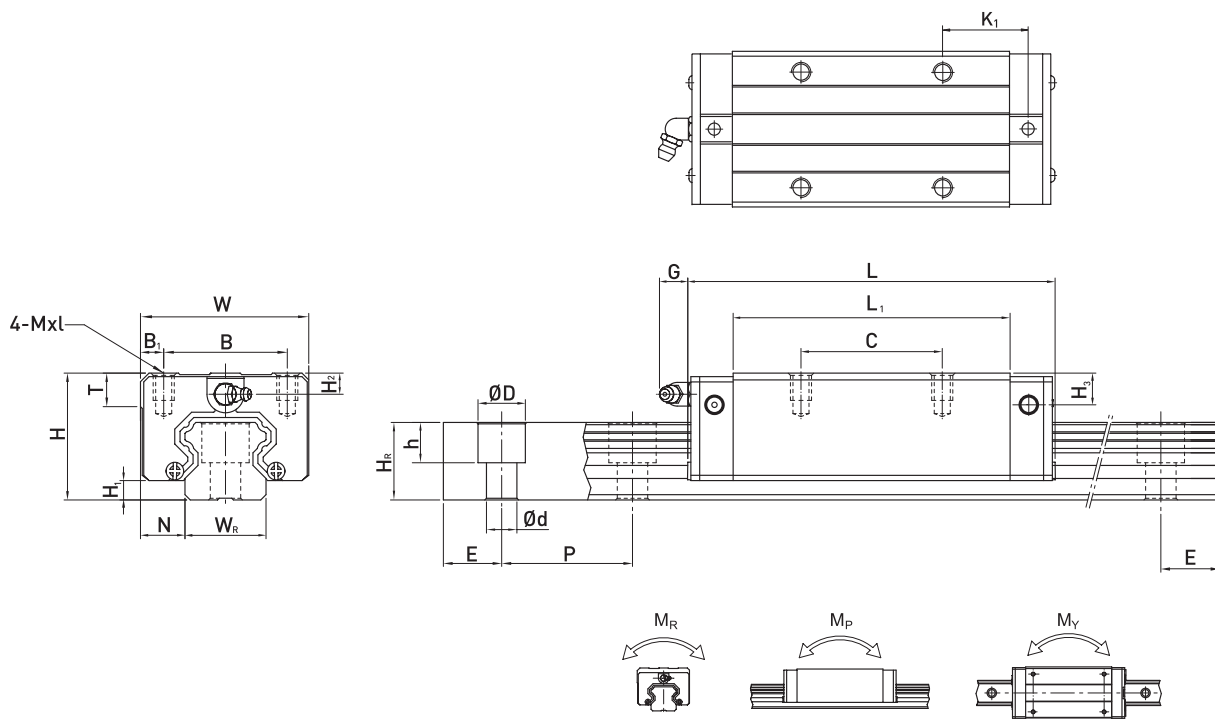
**RNC-RSC**

Carrello Model No.	Dimensioni assemblato <i>Dimensions of Assembly</i> (mm)		Dimensioni carrello <i>Dimensions of Block</i> (mm)												Dimensioni rotaia <i>Dimensions of Rail</i> (mm)						Viti di fissaggio <i>Mounting Bolt</i> for Rail	Capacità di carico dinamica <i>Basic Dynamic Load Rating</i>	Capacità di carico statica <i>Basic Static Load Rating</i>	Momento statico <i>Static Rated Moment</i>			Peso <i>Weight</i>			
	H	H <sub>1</sub>	N	W	B	B <sub>1</sub>	C	L <sub>1</sub>	L	K <sub>1</sub>	G	Mxl	T	H <sub>2</sub>	H <sub>3</sub>	W <sub>R</sub>	H <sub>R</sub>	D	h	d	P	E	(mm)	C(kN)	C <sub>0</sub> (kN)	MX KN-m	MY KN-m	MZ KN-m	Carrello Block kg	Rotaia Rail kg/m
RNC 15	24	4.5	9.5	34	26	4	26	39.8	56.8	10.15	5.7	M4x6	6	5.5	6	15	12.5	7.5	5	4.5	60	20	M3x16	7.83	16.19	0.13	0.10	0.10	0.15	1.25
RSC 15	24	4.5	9.5	34	26	4	-	23.1	40.1	14.8	5.7	M4x6	6	5.5	6	15	12.5	7.5	5	4.5	60	20	M3x16	5.35	9.40	0.08	0.04	0.04	0.09	1.25
RNC 20	28	6	11	42	32	5	32	48.1	69.1	12.3	12	M5x7	7.5	6	6	20	15.5	9.5	8.5	6	60	20	M5x16	10.31	21.13	0.22	0.16	0.16	0.24	2.08
RSC 20	28	6	11	42	32	5	-	29	50	18.75	12	M5x7	7.5	6	6	20	15.5	9.5	8.5	6	60	20	M5x16	7.23	12.74	0.13	0.06	0.06	0.15	2.08
RNC 25	33	7	12.5	48	35	6.5	35	59	82.6	16.15	12	M6x9	8	8	8	23	18	11	9	7	60	20	M6x20	16.27	32.40	0.38	0.32	0.32	0.41	2.67
RSC 25	33	7	12.5	48	35	6.5	-	35.5	59.1	21.9	12	M6x9	8	8	8	23	18	11	9	7	60	20	M6x20	11.40	19.50	0.23	0.12	0.25	0.25	2.67
RNC 30	42	10	16	60	40	10	40	70.1	98.1	21.05	12	M8x12	9	8	9	28	23	11	9	7	80	20	M6x25	23.70	47.46	0.68	0.68	0.55	0.76	4.35
RSC30	42	10	16	60	40	10	-	41.5	69.5	26.75	12	M8x12	9	8	9	28	23	11	9	7	80	20	M6x25	16.42	28.10	0.40	0.21	0.21	0.45	4.35

**RNA**


Carrello Model No.	Dimensioni assemblato Dimensions of Assembly (mm)			Dimensioni carrello Dimensions of Block (mm)												Dimensioni rotaia Dimensions of Rail (mm)					Viti di fissaggio Mounting Bolt for Rail	Capacità di carico dinamica Basic Dynamic Load Rating	Capacità di carico statica Basic Static Load Rating	Memento statico Static Rated Moment			Peso Weight				
	H	H <sub>1</sub>	N	W	B	B <sub>1</sub>	C	L <sub>1</sub>	L	K <sub>1</sub>	G	M	T	T <sub>1</sub>	H <sub>2</sub>	H <sub>3</sub>	W <sub>R</sub>	H <sub>R</sub>	D	h	d	P	E	(mm)	C(kN)	C <sub>0</sub> (kN)	MX KN-m	MY KN-m	MZ KN-m	Carrello Block kg	Rotaia Rail kg/m
<b>RSA 15</b>	24	4.5	18.5	52	41	5.5	-	23.1	40.1	14.8	5.7	M5	5	7	5.5	6	15	12.5	7.5	5	4.5	60	20	M3x16	5.35	9.40	0.08	0.04	0.04	0.21	0.12
<b>RNA 15</b>	24	4.5	18.5	52	41	5.5	26	39.8	56.8	10.15	5.7	M5	5	7	5.5	6	15	12.5	7.5	5	4.5	60	20	M3x16	7.83	16.19	0.13	0.10	0.10	0.21	1.25
<b>RSA 20</b>	28	6	19.5	59	49	5	-	29	50	18.75	12	M6	7	9	6	6	20	15.5	9.5	8.5	6	60	20	M5x16	7.23	12.74	0.13	0.06	0.06	0.19	2.08
<b>RNA 20</b>	28	6	19.5	59	49	5	32	48.1	69.1	12.3	12	M6	7	9	6	6	20	15.5	9.5	8.5	6	60	20	M5x16	10.31	21.13	0.22	0.16	0.16	0.32	2.08
<b>RSA 25</b>	33	7	25	73	60	6.5	-	35.5	59.1	21.9	12	M8	7.5	10	8	8	23	18	11	9	7	60	20	M6x20	11.40	19.50	0.23	0.12	0.12	0.35	2.67
<b>RNA 25</b>	33	7	25	73	60	6.5	35	59	82.6	16.15	12	M8	7.5	10	8	8	23	18	11	9	7	60	20	M6x20	16.27	32.40	0.38	0.32	0.32	0.59	2.67
<b>RNA 30</b>	42	10	31	90	72	9	40	70.1	98.1	21.05	12	M10	7	10	8	9	28	23	11	9	7	80	20	M6x25	23.70	47.46	0.68	0.55	0.55	1.04	2.67

## SNX-SLX



Carrello Model No.	Dimensioni assemblato Dimensions of Assembly (mm)		Dimensioni carrello Dimensions of Block (mm)												Dimensioni rotaia Dimensions of Rail (mm)						Viti di fissaggio Mounting Bolt for Rail	Capacità di carico dinamica Basic Dynamic Load Rating	Capacità di carico statica Basic Static Load Rating	Momento statico Static Rated Moment			Peso Weight					
	H	H <sub>1</sub>	N	W	B	B <sub>1</sub>	C	L <sub>1</sub>	L	K <sub>1</sub>	G	MxL	T	H <sub>2</sub>	H <sub>3</sub>	W <sub>R</sub>	H <sub>R</sub>	D	h	d	P	E	(mm)	C(kN)	C <sub>0</sub> (kN)	MX KN-m	MY KN-m	MZ KN-m	Carrello Block kg	Rotaia Rail kg/m		
SNX 15	24	4.3	9.5	34	26	4	26	39.4	61.4	10	5.3	M4x4	6	3.95	3.7	15	15	7.5	5	4.5	60	20	M4x16	11.38	16.97	0.12	0.10	0.10	0.14	1.45		
SNX 25							35	58	84	16.8			12	M6x6	8	6	9	23	22	11	9	7	60	20		26.48	36.49	0.42	0.33	0.33	0.42	
SLX 25	36	5.5	12.5	48	35	6.5																		M6x20		32.75	49.44	0.56	0.57	0.57	0.57	3.21
SNX 30							40	70	97.4	20.25			12	M8x8	8.5	6.5	10.8	28	26	14	12	9	80	20	M8x25	38.74	52.19	0.66	0.53	0.53	0.78	
SLX 30	42	6	16	60	40	10							60	93	120.4	21.75										47.27	69.16	0.88	0.92	0.92	1.03	4.47
SNX 35							50	80	112.4	20.6			12	M8x8	10.2	9	12.6	34	29	14	12	9	80	20	M8x25	49.52	69.16	1.16	0.81	0.81	1.14	
SLX 35	48	7.5	18	70	50	10							72	105.8	138.2	22.5										60.21	91.63	1.54	1.40	1.40	1.52	6.30
SNX 45							60	97	139.4	23			12.9	M8x11	16	8.5	20.5	45	38	20	17	14	105	22.5	M12x35	77.57	102.71	1.98	1.55	1.55	2.08	
SLX 45	60	9.5	20.5	86	60	13							80	128.8	171.2	28.9										94.54	136.46	2.63	2.68	2.68	2.75	10.41
SNX55							75	117,7	166,7	27,35			12,9	M12x18	17,5	12	19	53	44	23	20	16	120	30	M14x45	114,44	148,33	3,69	2,64	2,64	3,25	
SLX55	70	13	23,5	100	75	12,5							95	155,8	204,8	36,4										139,35	196,2	4,88	4,57	4,57	4,27	15,08

Le suddette sigle sostituiscono le precedenti RNX ed RLX, senza alcuna variazione nel prodotto

The above mentioned part numbers substitute the former RNX and RLX ones, without any other product's change

## Note





**SISTEMI LINEARI**  
***LINEAR SYSTEMS***

Distributore / Distributor